

目次

はじめに

p/n Junction

Shockleyの電流方程式

基礎編：

回路モデルとは

デバイスの基本原理

解析式の導出

応用編：

先端デバイスの特性

短チャネル効果

Non-Quasi-Static効果

ノイズ

高調波ひずみ

Y-パラメタ特性

基本方程式

-Poisson:
$$\nabla^2 \phi = -\frac{q}{\epsilon_{Si}} (N_D - N_A + p - n)$$

$$n = n_i \exp \frac{q(\phi - \phi_n)}{kT}$$

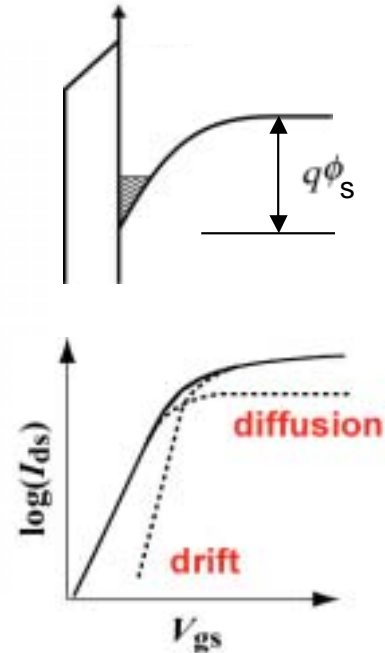
$$p = n_i \exp \frac{q(\phi_p - \phi)}{kT}$$

-Current Density:
$$j_n = q\mu_n n \frac{\phi}{y} + qD_n \nabla n$$

$$j_p = q\mu_p p \frac{\phi}{y} - qD_p \nabla p$$

-Continuity:
$$I(t) = I_0(t) + \frac{dQ}{dt}$$

(solved by SPICE)



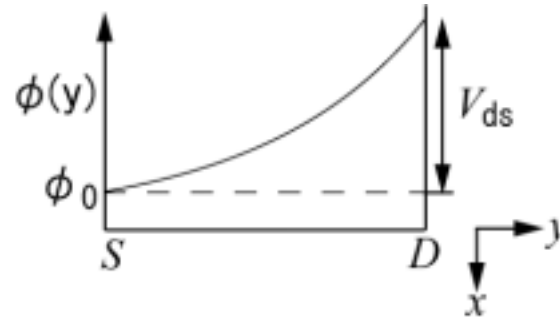
すべてのデバイス特性はポテンシャルの関数

ドリフト近似

$$I_{ds} = W \mu q n \frac{d\phi}{dy}$$

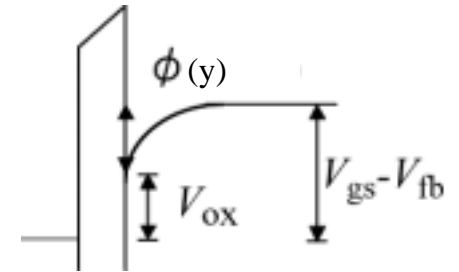
$$I_{ds} dy = W \mu q n d\phi$$

$$\phi(y) = \phi_0 + V(y)$$



Gaussの法則: $E_{ox} \epsilon_{ox} = E_{Si} \epsilon_{Si} = -Q_s$

$$\frac{V_{gs} - V_{fb} - \phi(y)}{T_{ox}} \epsilon_{ox} = -Q_n - Q_b$$



$$Q_n = qn = -\left[V_{gs} - V_{fb} - \phi_0 - V(y) \right] C_{ox} + \sqrt{2\epsilon_{Si} q N_{sub} \left[\phi_0 + V(y) \right]}$$

$$\int_0^L I_{ds} dy = W \mu \int_0^{V_{ds}} Q_n dV \Rightarrow I_{ds} = \mu \frac{W}{L} C_{ox} \left[(V_{gs} - V_{th}) V_{ds} - \frac{1}{2} V_{ds}^2 \right]$$

$$V_{th} = 2\Phi_B + \frac{\sqrt{2\epsilon_{Si} q N_{sub} 2\Phi_B}}{C_{ox}}$$

しきい値条件

Poisson's Equation + Gauss's Law

$$C_{\text{ox}}(V_G' - \phi_S(y)) = \sqrt{\frac{2\varepsilon_s q N_{\text{sub}}}{\beta}} \left[\exp\{-\beta(\phi_S(y) - V_{\text{bs}})\} + \beta(\phi_S(y) - V_{\text{bs}}) - 1 + \frac{n_{\text{p0}}}{p_{\text{p0}}} \left\{ \exp(\beta(\phi_S(y) - \phi_f(y))) - \exp(\beta(V_{\text{bs}} - \phi_f(y))) \right\} \right]^{-\frac{1}{2}}$$

しきい値条件：Carrier濃度が基板濃度と等しくなった時

$$n = n_i \exp\left(\frac{q(\phi - \phi_n)}{kT}\right) = n_{\text{p0}} \exp\left(-\frac{q\phi_S}{kT}\right)$$

$$n_{\text{p0}} p_{\text{p0}} = n_i^2 : \text{Mass-Action Law}$$

$$\Rightarrow \phi_S = \frac{2kT}{q} \ln\left(\frac{N_{\text{sub}}}{n_i}\right) = 2\Phi_B$$

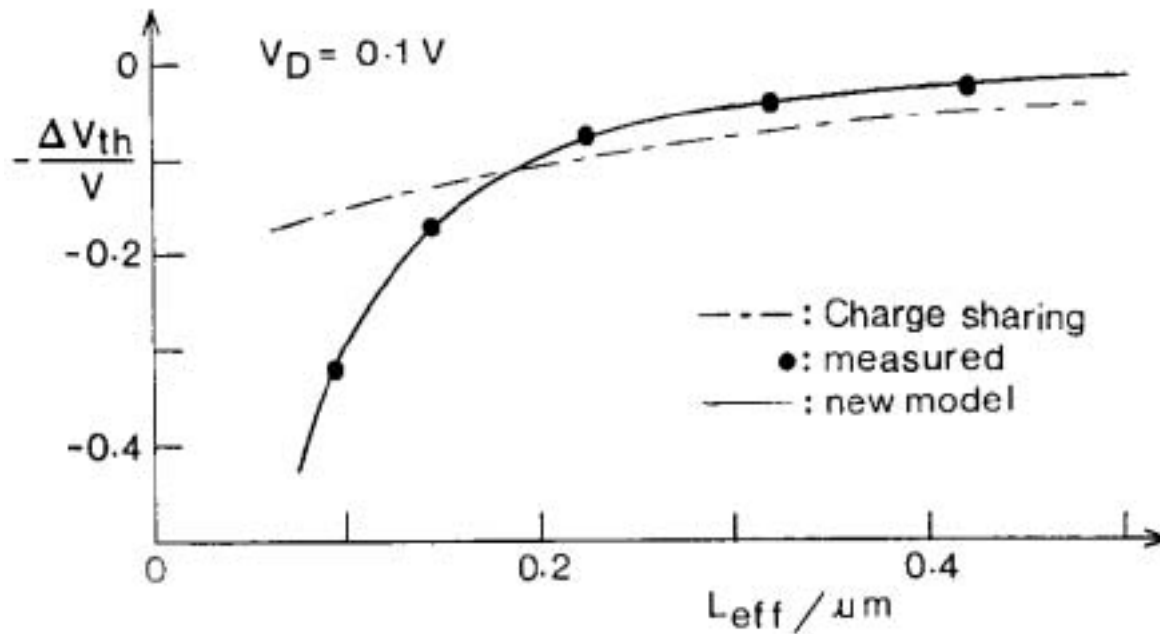
しきい値条件下： $n_{\text{p0}}/p_{\text{p0}}$ の項は無視できる

$$C_{\text{ox}}(V_G' - 2\Phi_B) = \sqrt{\frac{2\varepsilon_s q N_{\text{sub}}}{\beta}} \left[\beta(2\Phi_B) - V_{\text{bs}} - 1 \right]^{\frac{1}{2}}$$

$$\Rightarrow V_{\text{th}} = V_{\text{fb}} + 2\Phi_B + \gamma \left[\beta(2\Phi_B) - V_{\text{bs}} - 1 \right]^{\frac{1}{2}}$$

$$\gamma = \sqrt{\frac{2\varepsilon_s q N_{\text{sub}}}{\beta}} / C_{\text{ox}} \quad : \text{Body-Effect Coefficient}$$

しきい値電圧



charge sharingモデル



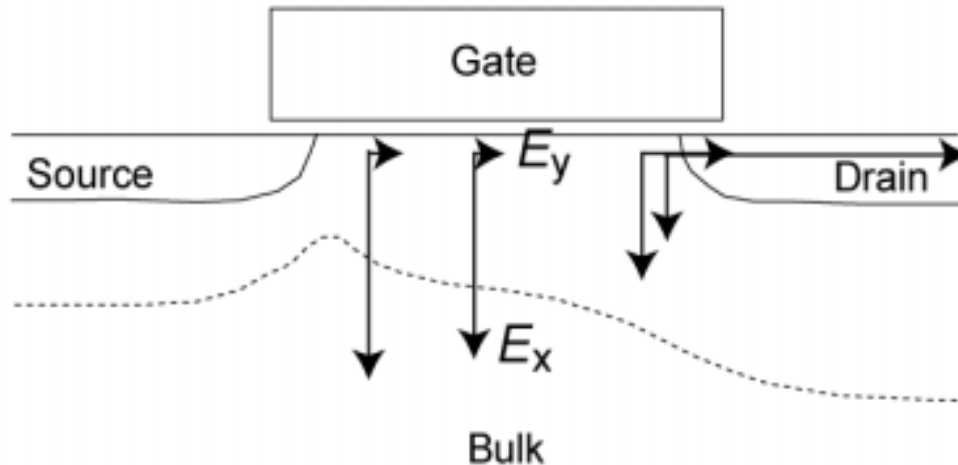
空乏層

チャンネルが支配する領域

短チャネル効果

2次元効果: charge-sheet近似の破綻

2次元デバイスシミュレーション結果

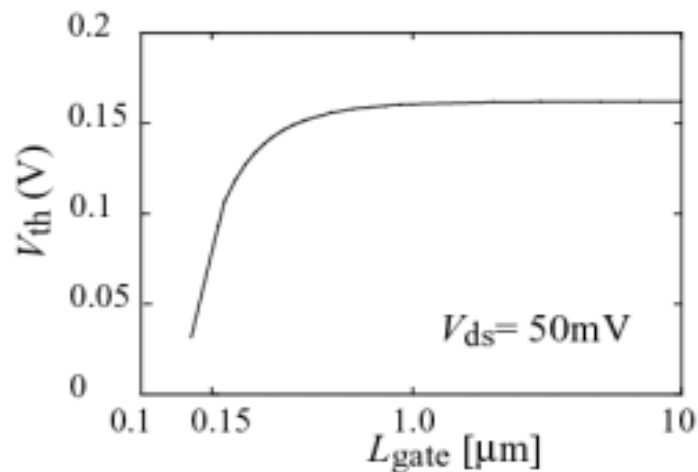


Poisson's Equation

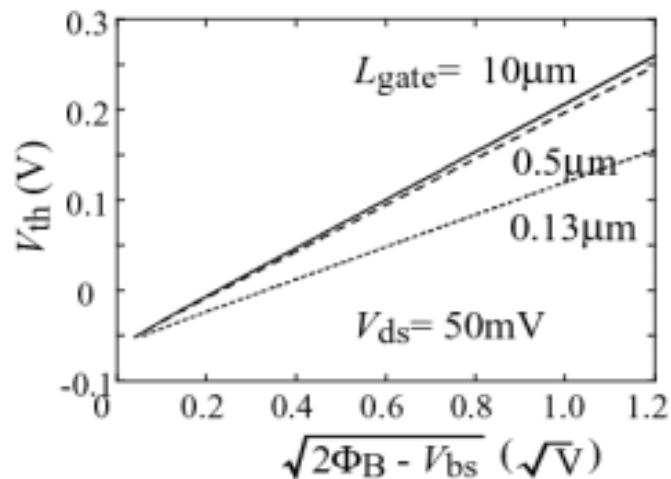
$$\nabla^2 \phi = \frac{d^2 \phi}{d x^2} + \frac{d^2 \phi}{d y^2}$$

観測される短チャネル効果

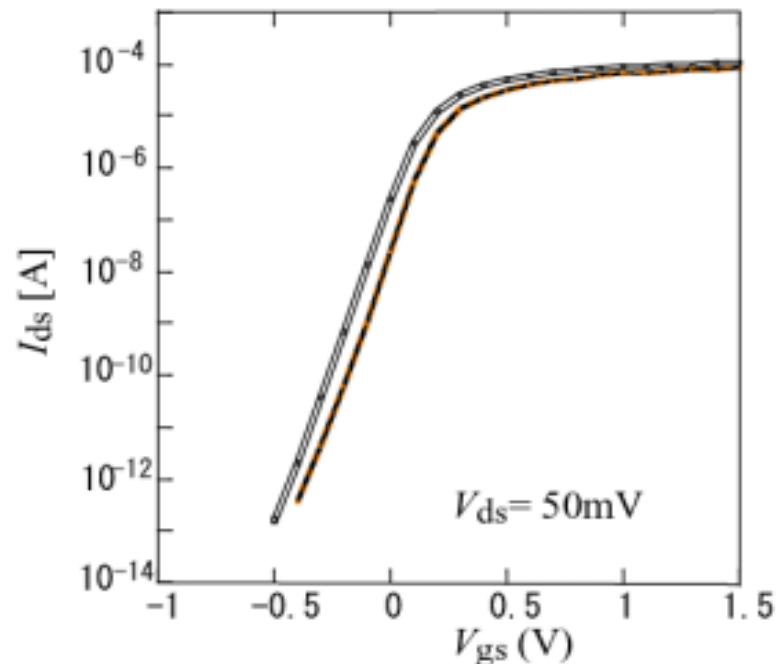
(I) $V_{th} - L_{gate}$ 特性



(II) Body-Effect Coefficient



(III) Subthreshold Swing



(IV) ドレイン電圧依存

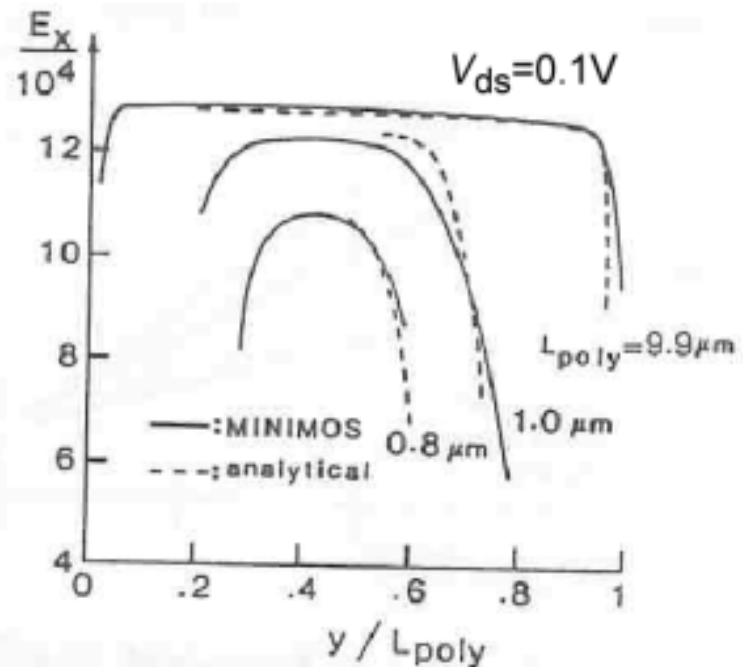
長チャネルの場合：

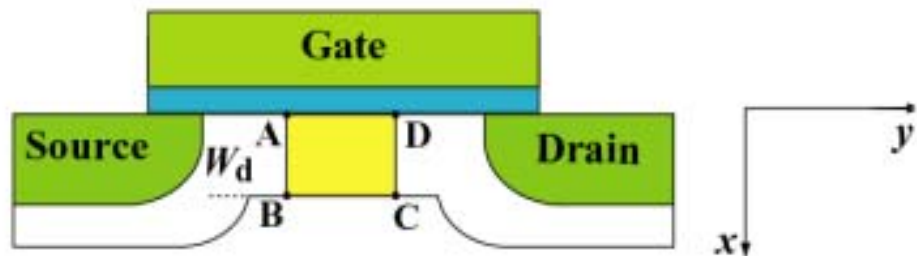
$$V_{th} = V_{fb} + 2\Phi_B + \sqrt{\frac{2\epsilon_s q N_{sub}}{\beta}} / C_{ox} [\beta (2\Phi_B) - V_{bs}) - 1]^{1/2}$$

- テクノロジーの指標
- Short-Channel効果の見積もり

しきい値状態での
ゲート・コントロール

Normalizeした電流値が一定





Gauss's Law:
$$-\int_A^B E_{y1} dx + \int_C^D E_{y2} dx + \int_D^A E_x dy = -\int \frac{Q_s}{\epsilon_{si}} dy$$

$$E_x dy + W_d (E_{y2} - E_{y1}) = \frac{(Q_b + Q_i)}{\epsilon_{si}} dy; \quad E_x + W_d \frac{dE_y}{dy} = \frac{(Q_b + Q_i)}{\epsilon_{si}}$$

↓

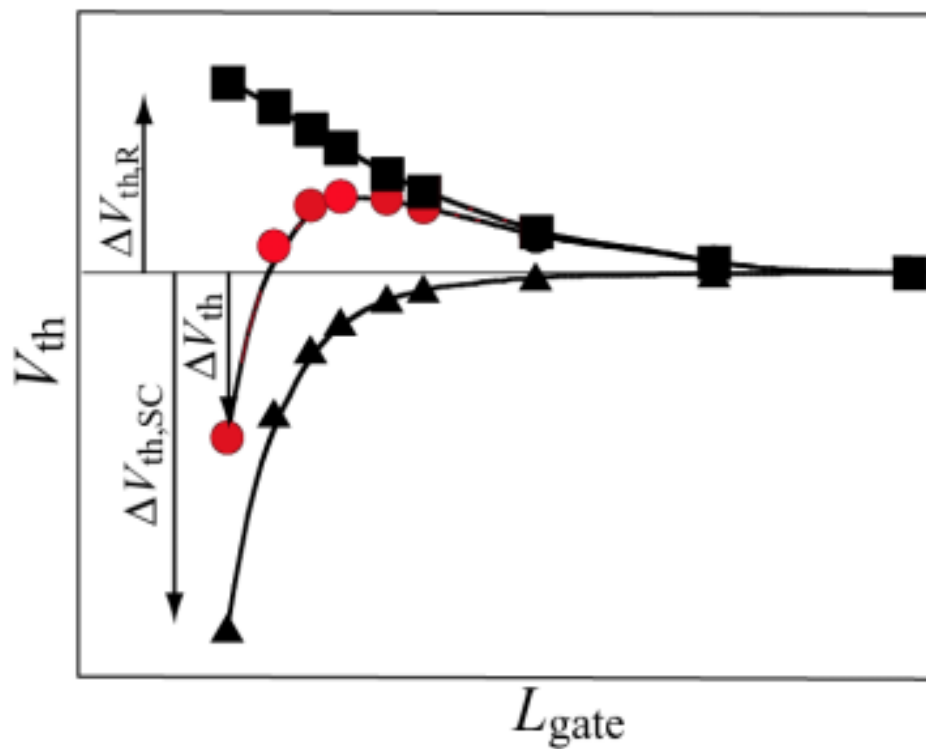
$$\Delta V_{th,SC} = \frac{\epsilon_{si}}{C_{ox}} W_d \frac{dE_y}{dy}$$

ポテンシャル分布を2次関数近似

$$\frac{dE_y}{dy} = \frac{2(V_{bi} - 2\Phi_B)}{(L_{gate} - PARL2)^2} (SC1 + SC2 \times V_{ds} + SC3 \frac{2\Phi_B}{L_{gate}})$$

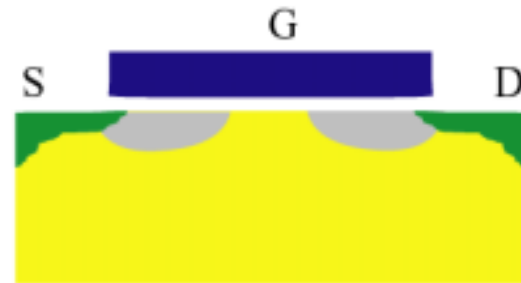
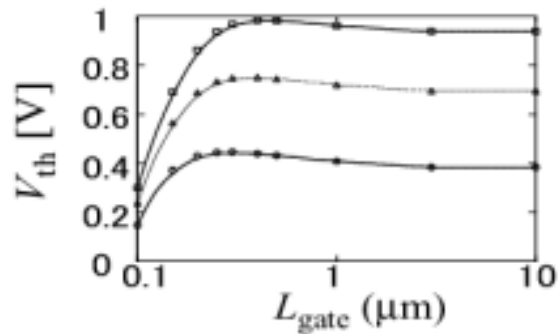
PARL2, SC1, SC2, SC3 : モデルパラメタ

逆短チャネル効果

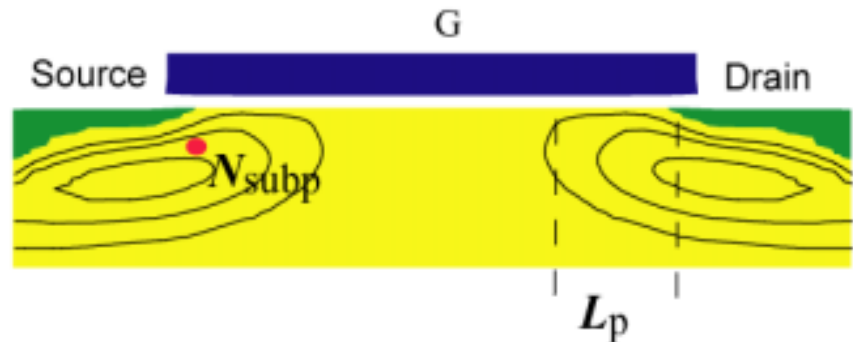
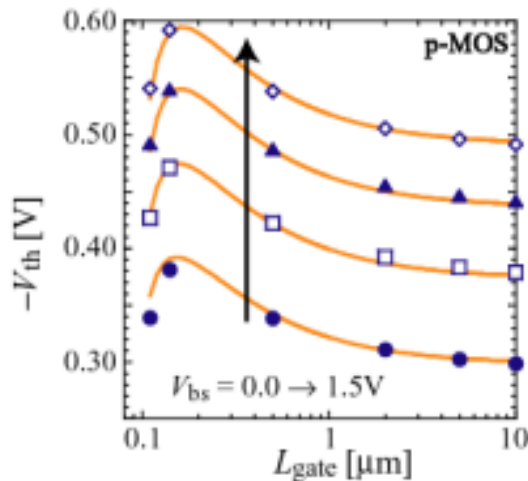


原因：チャネルエンジニアリング

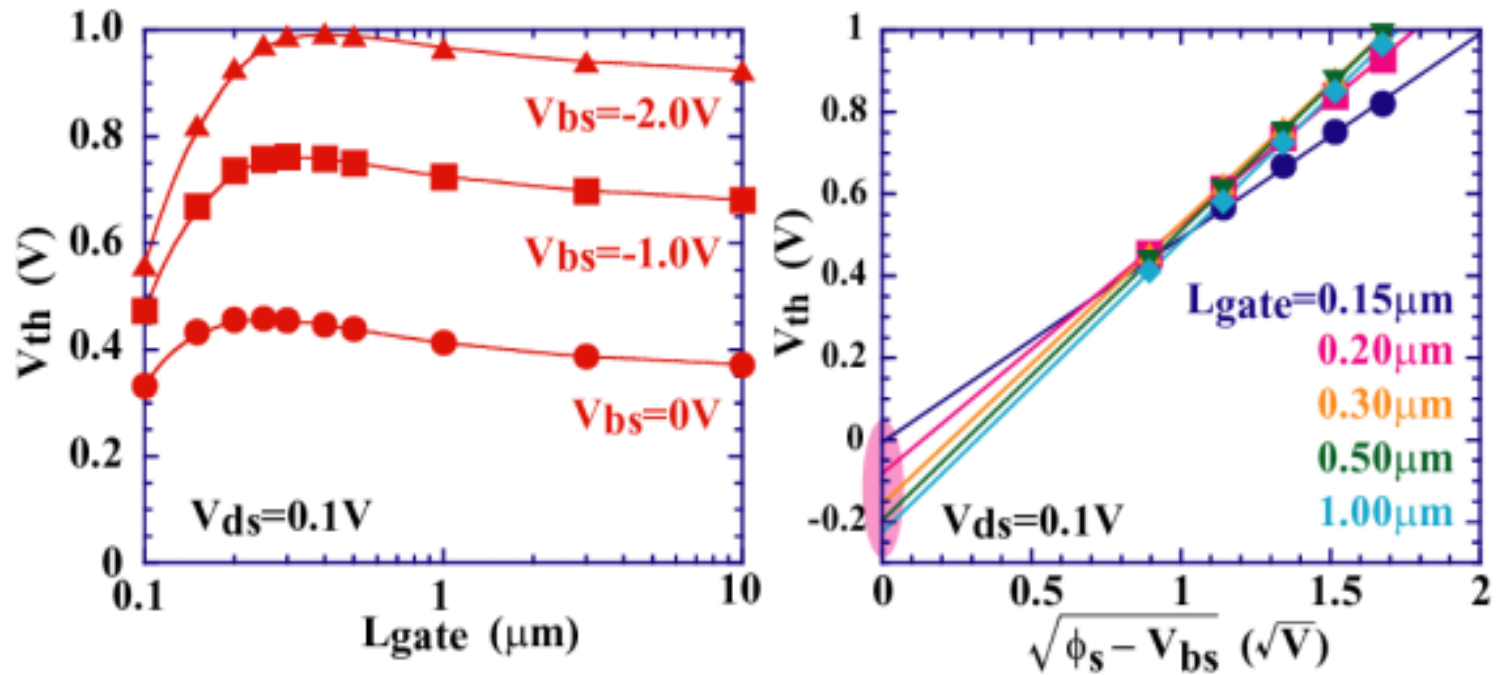
- Retrograded Case: Impurity Pile-Up



- Pocket-Implanted Case

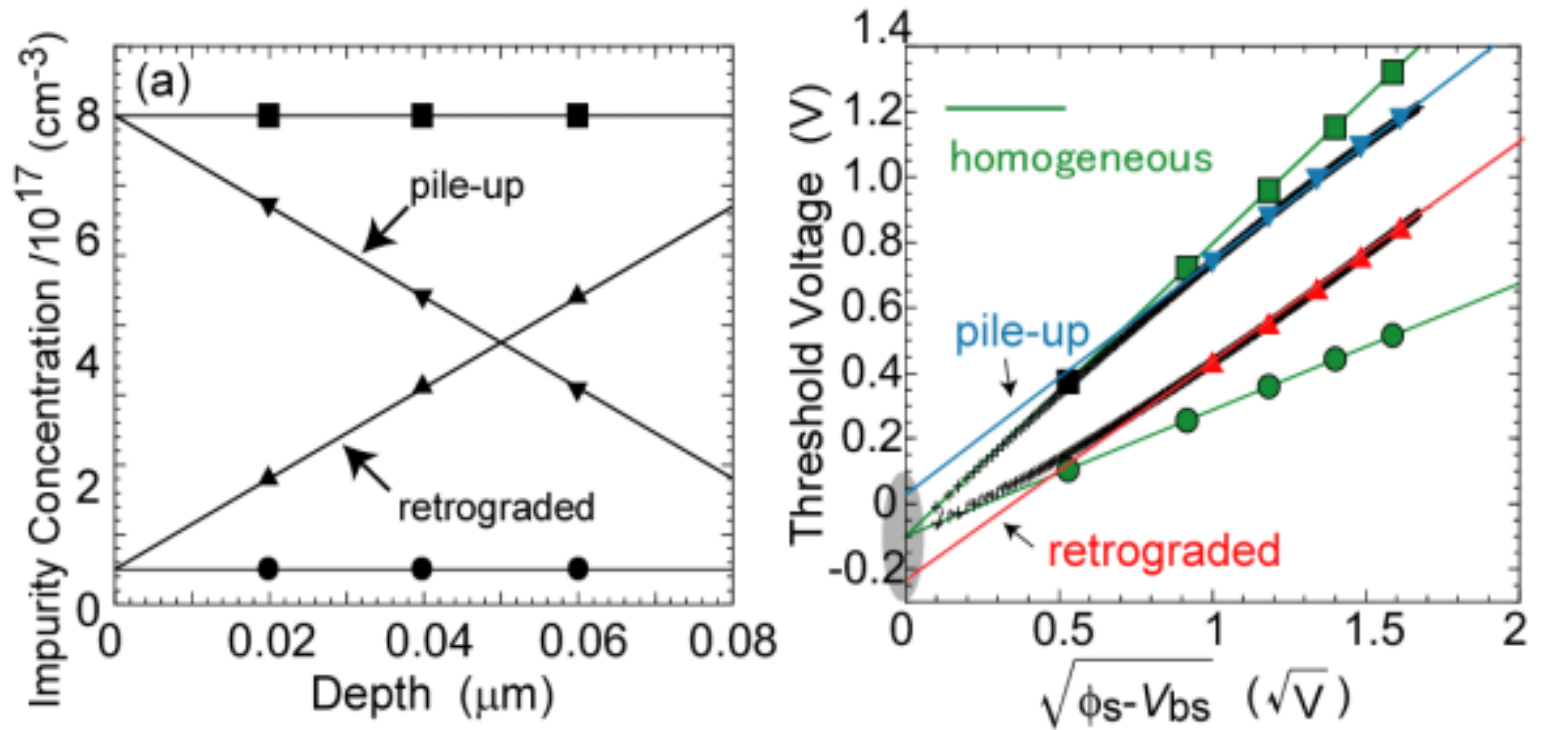


Retrogradedの場合



M. Suetake et al. Proc. SISPAD, p.207, 1999.

Vertical Profile

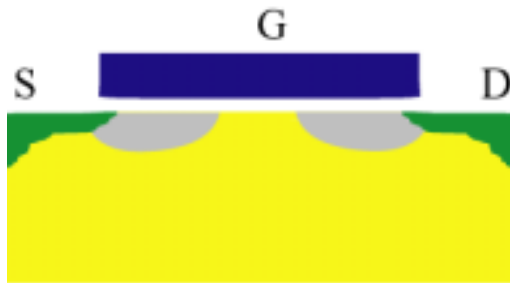


$$V_{th} = V_{fb} + 2\Phi_B + \gamma \left[\beta (2\Phi_B) - V_{bs} - 1 \right]^{\frac{1}{2}}$$

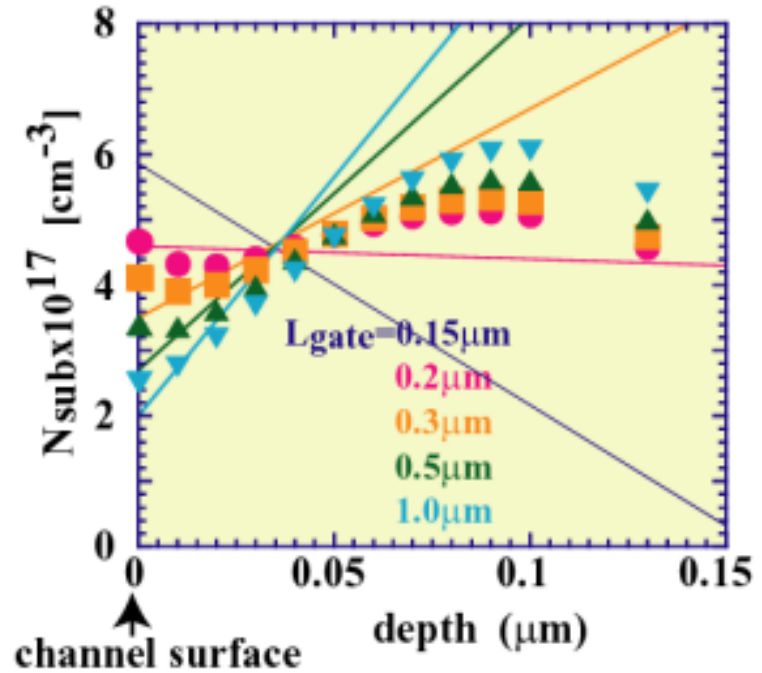
$$\gamma = \sqrt{\frac{2\epsilon_s q N_{sub}}{\beta}} / C_{ox} : \text{Body-Effect Coefficient}$$

H. J. Mattausch et al., Appl. Phys. Lett., 80, p. 2994, 2002.

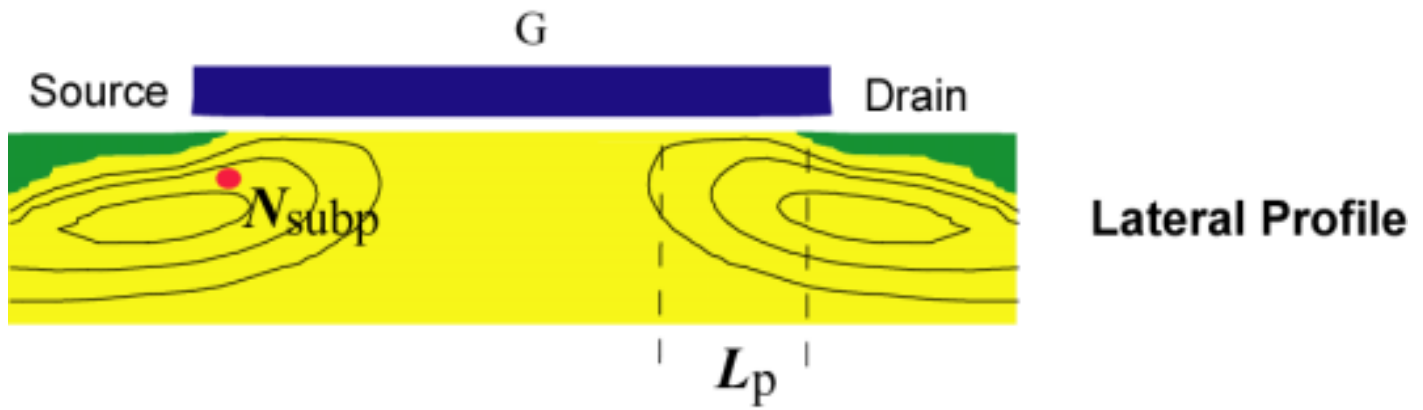
近似の検証



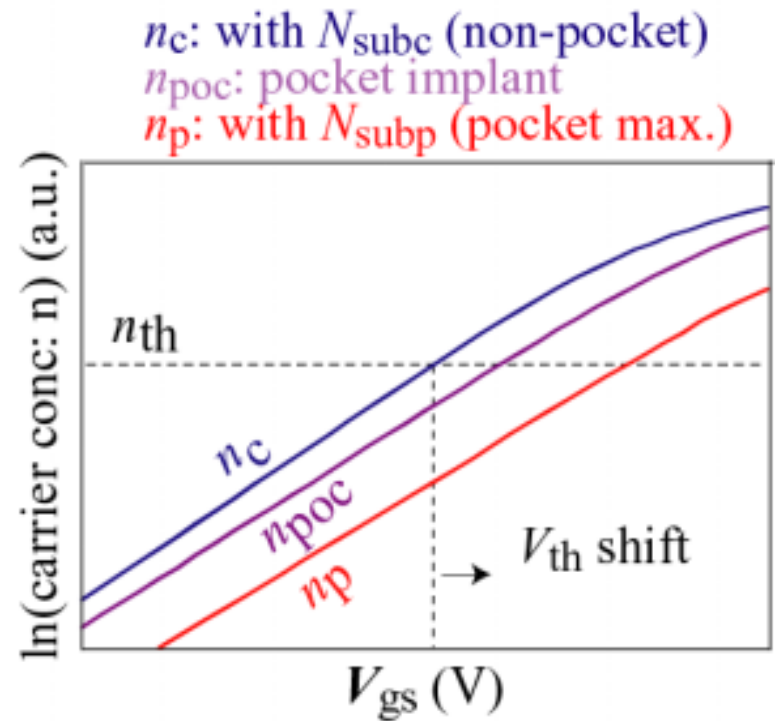
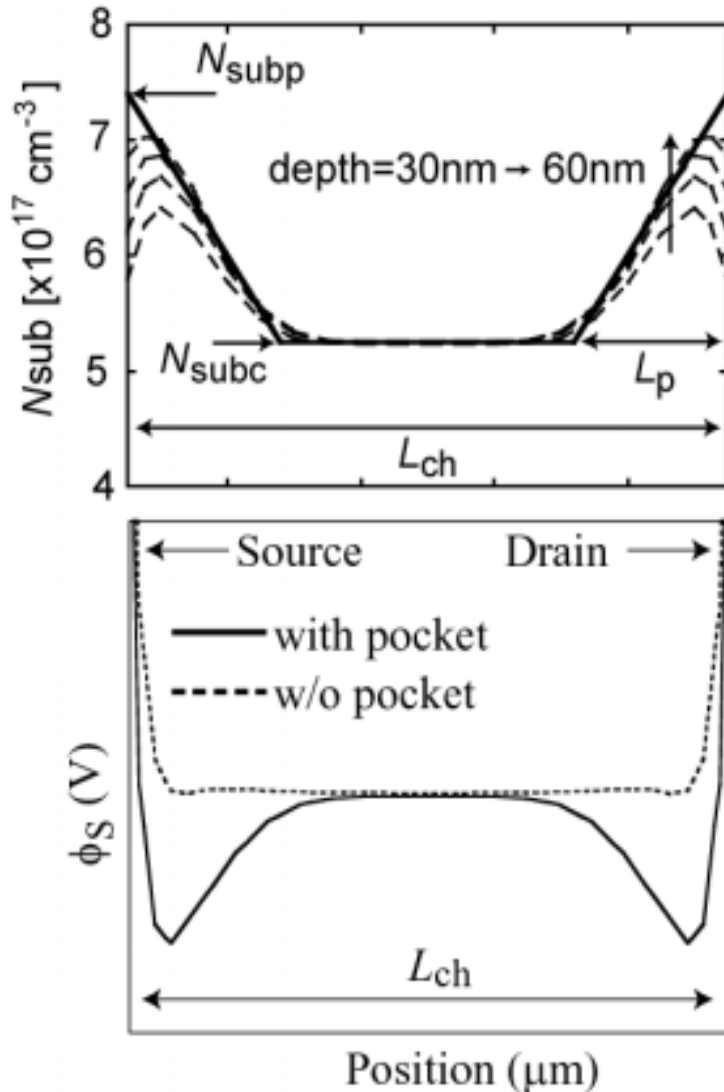
不純物のPileup現象

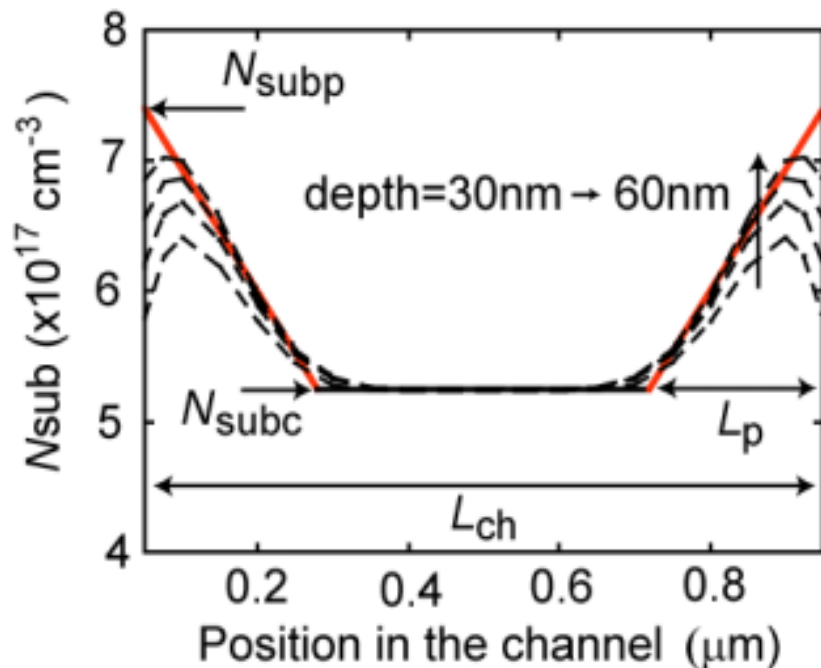


Pocket-Implantの場合



2次元デバイスシミュレーション結果





Simplified Pocket Profile

しきい値条件は全チャンネル内キャリア濃度で決まる。

$$n_{\text{av}} = \frac{L_{\text{ch}}}{\frac{L_{\text{ch}} - 2L_{\text{p}}}{n_{\text{c}}} + \frac{2L_{\text{p}}}{n_{\text{p}}}} = n_{\text{th}}$$

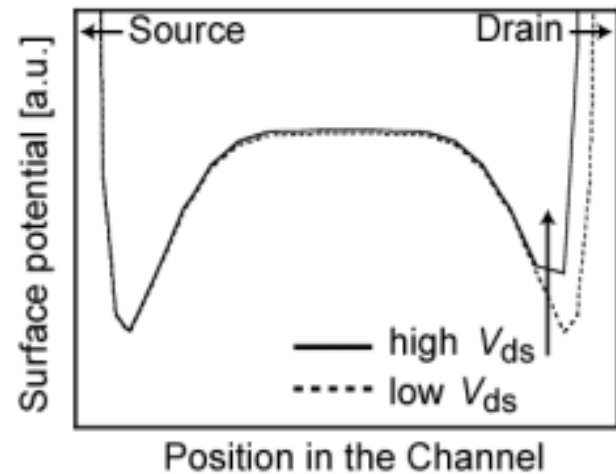
D. Kitamaru et al., Proc. SISPAD, p. 392, 2001.

解析式の導出

$$\phi_{th} = \frac{1}{\beta} \ln \left(\frac{n_{c,th} \sqrt{2\beta(2\phi_{Bc} - V_{bs}) - 2}}{\sqrt{\frac{N_{subc}\epsilon_{Si}}{q\beta}} \left(\frac{n_c}{N_{subc}}\right)^2} \right)$$

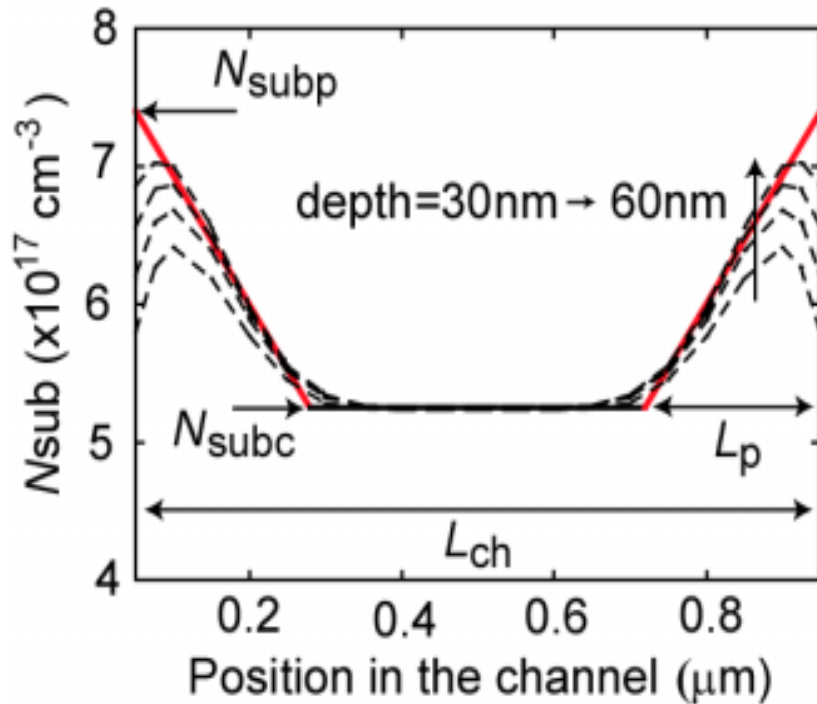
$$n_{c,th} = \left(L_{ch} + 2L_p \left(\frac{n_c}{n'_p} - 1 \right) \right) \frac{n_{th}}{L_{ch}}$$

$$n'_p = \frac{3n_cn_p}{n_c + \sqrt{n_cn_p} + n_p}$$

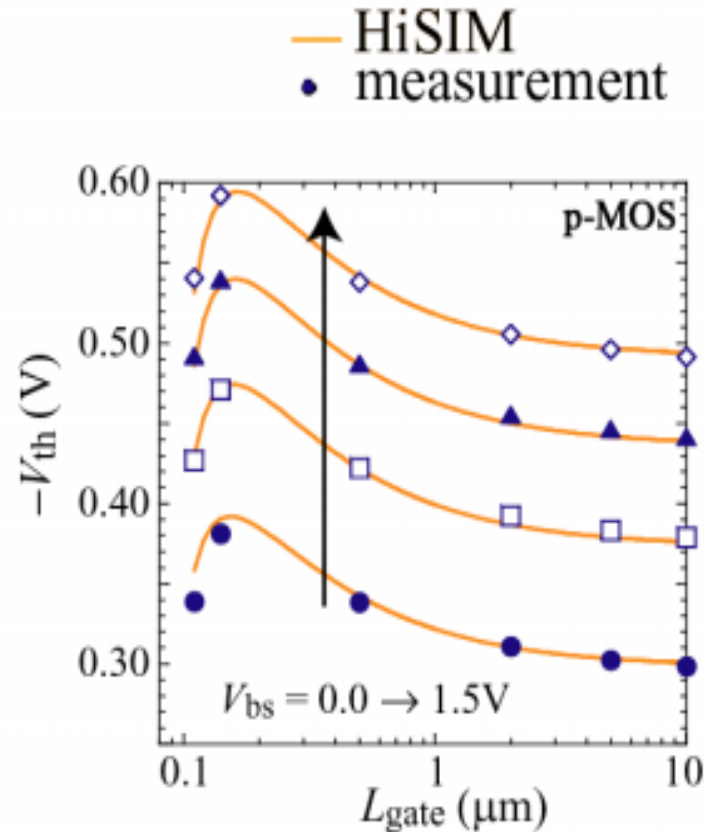


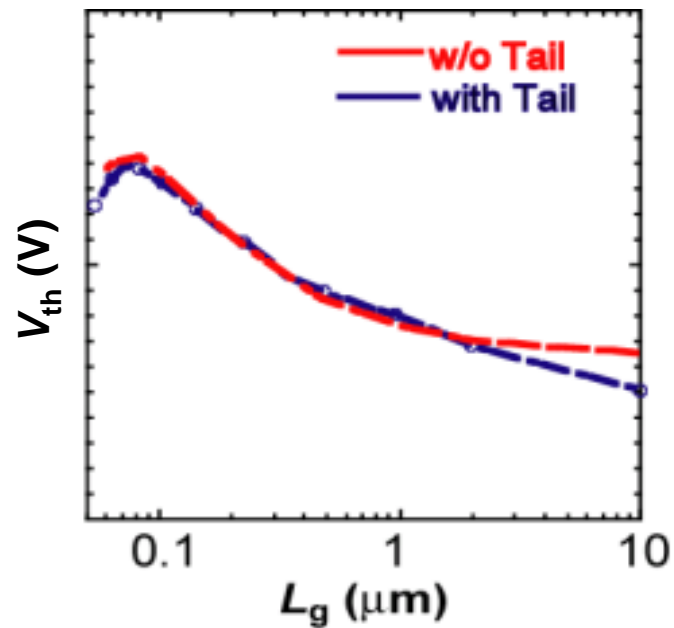
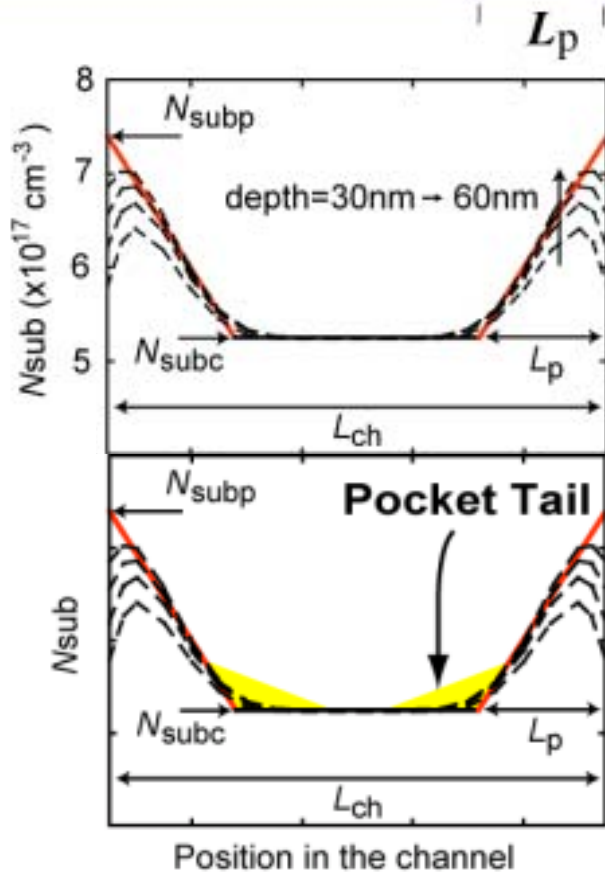
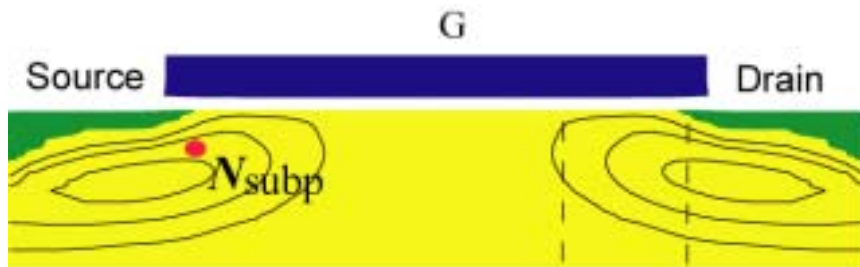
長チャネルで短チャネル効果が現れる

実測値との比較



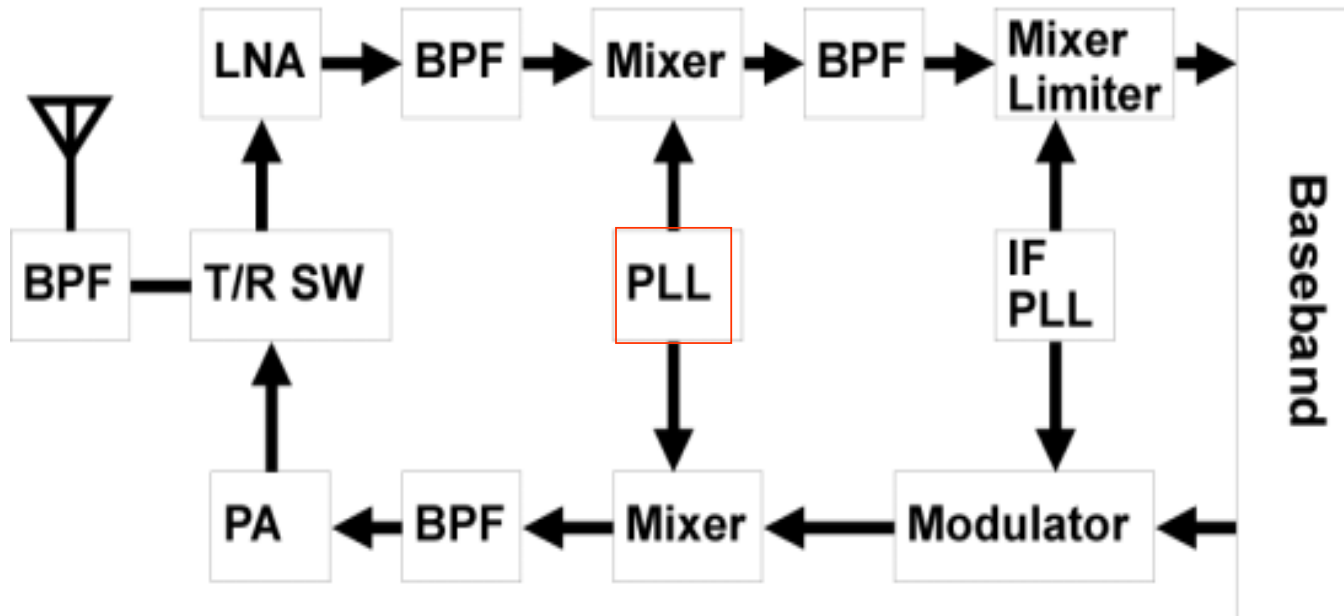
Extracted Pocket Profile





H. Ueno et al., IEEE T ED, 49, p. 1783, 2002.

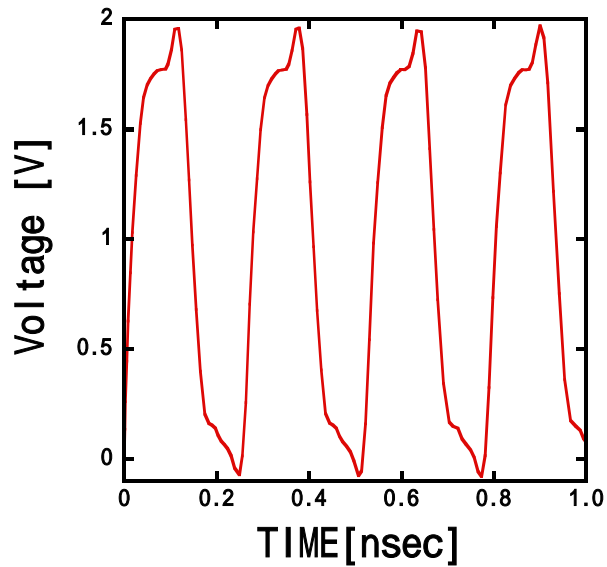
RF回路



1. High Frequency
2. Noise Influence
3. Non-Linearity

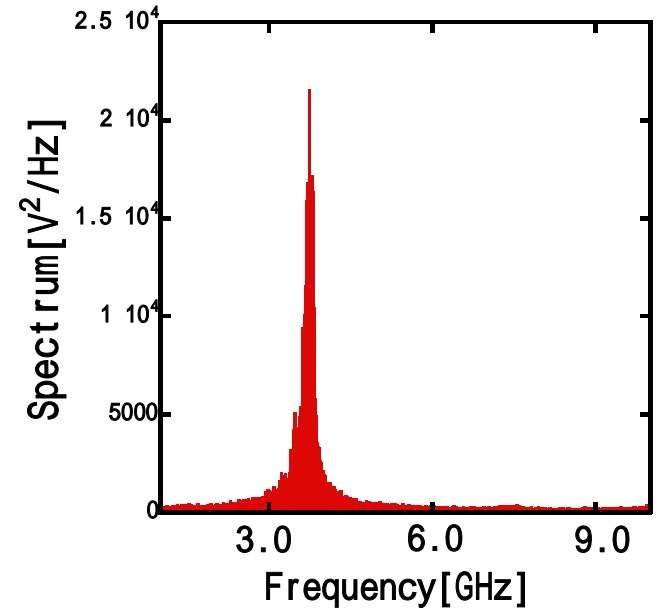
PLLの特性

Time-Domain Analysis

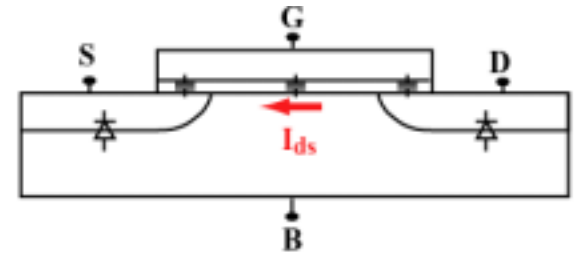


Fourier Transform

Frequency-Domain Analysis



モデルへの要求

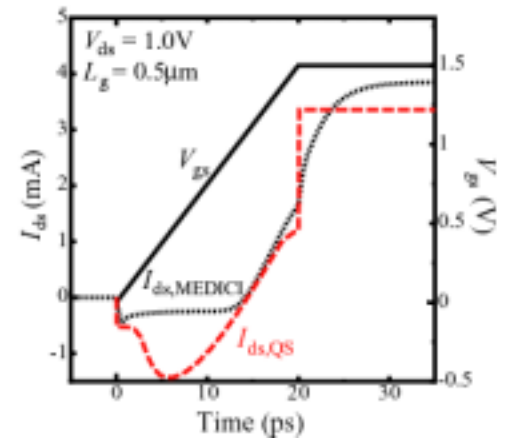
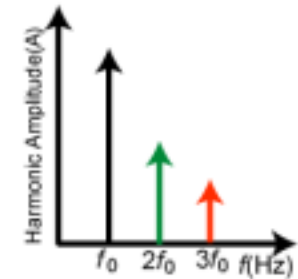


✓ キャリア応答遅延: Non-Quasi-Static効果

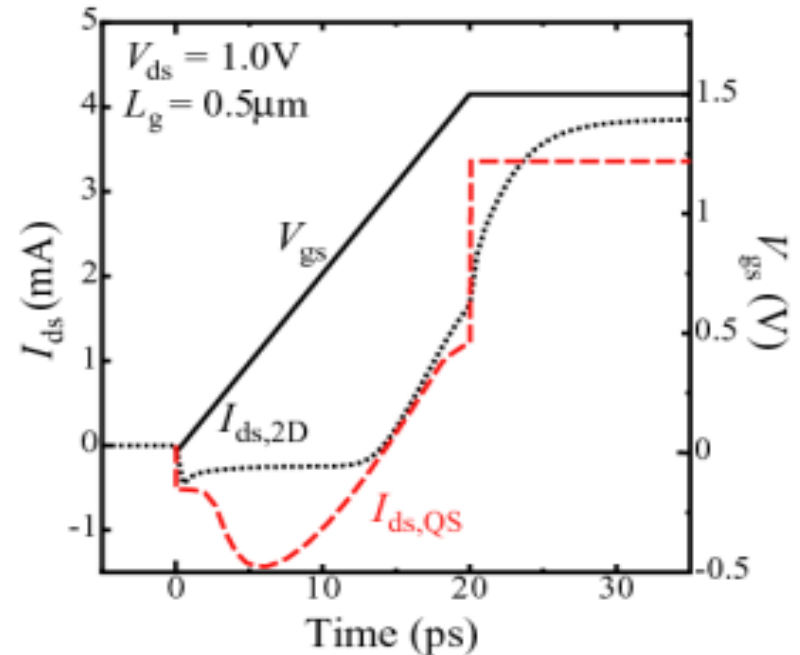
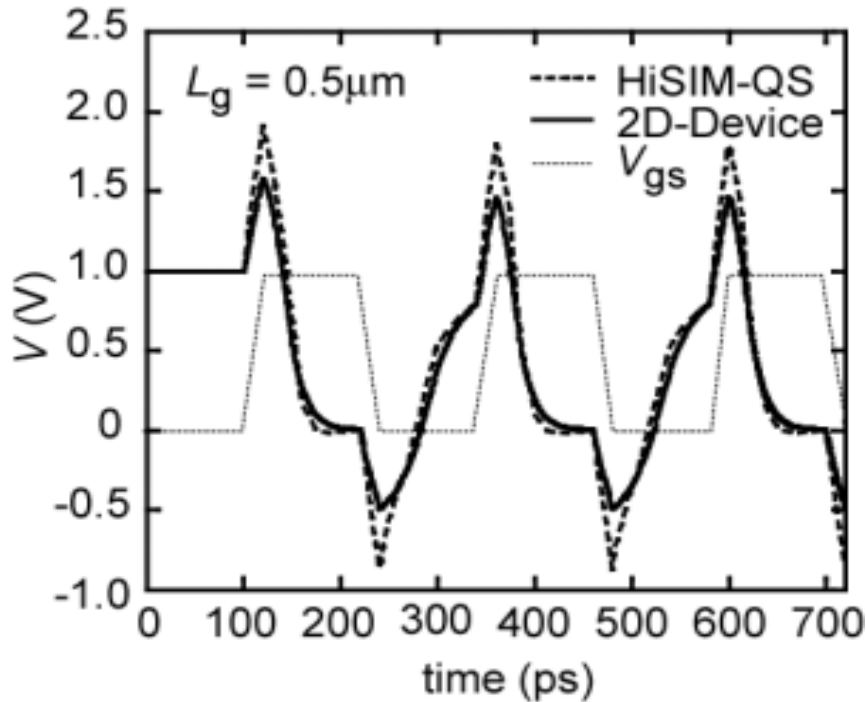
✓ ノイズ特性

✓ 高調波ひずみ

✓ Y-パラメタ特性

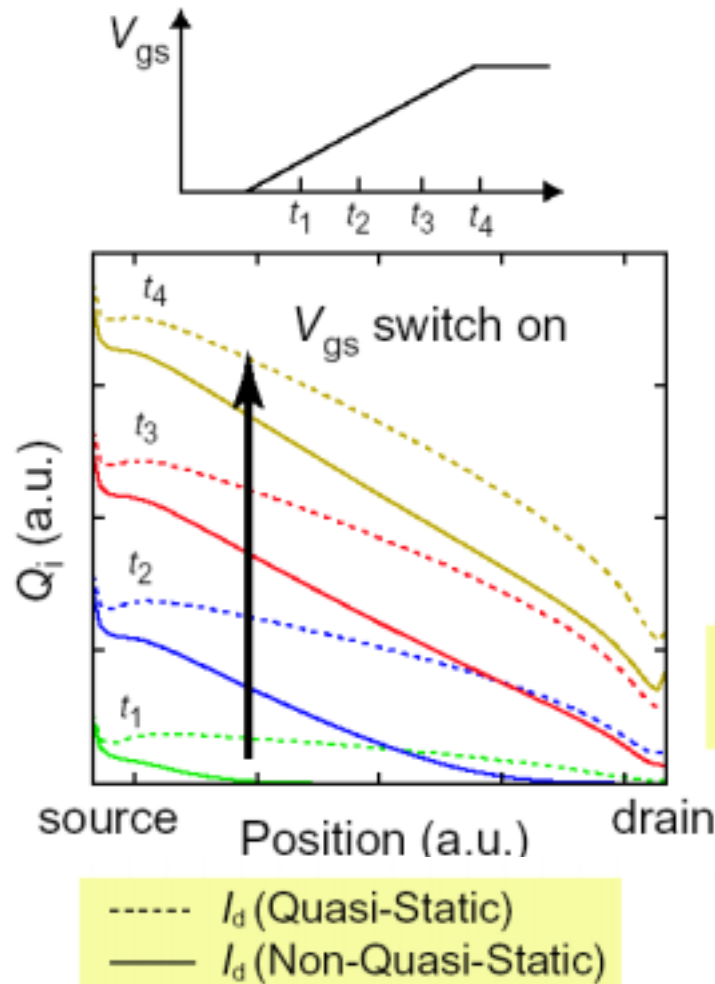


Non-Quasi-Static效果

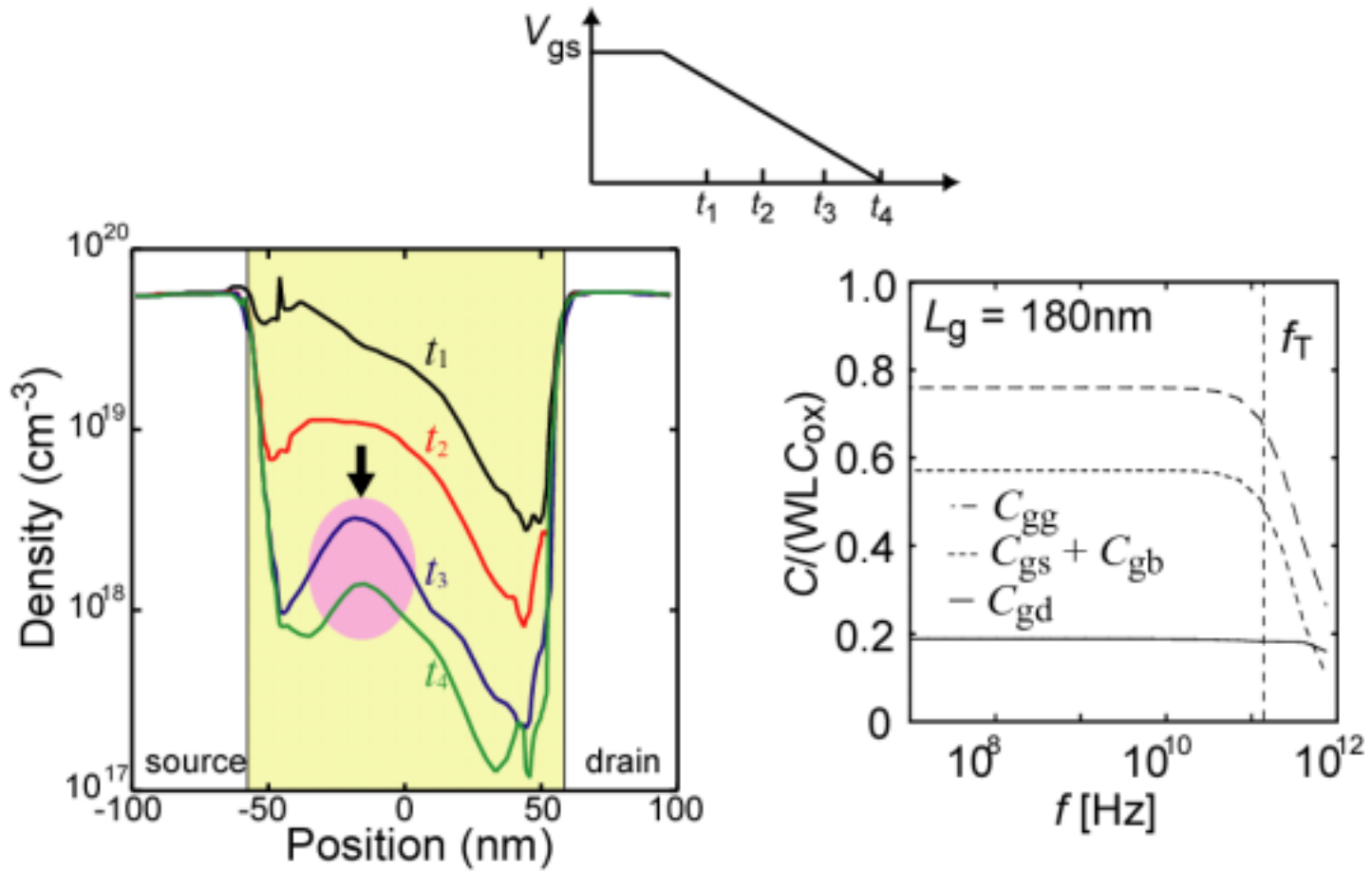


Quasi-Static Approximation: spontaneous carrier response

キャリア応答遅延モデル = NQSモデル



NQS: キャリアが応答できない

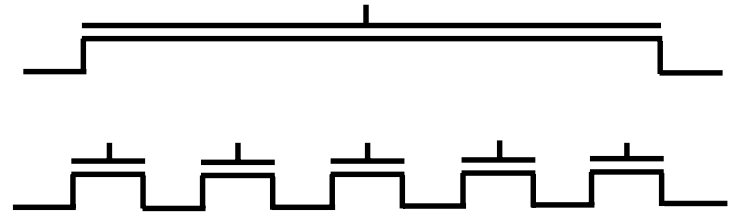


T.Okagaki et al., IEEE EDL, vol. 23, pp. 154, 2002

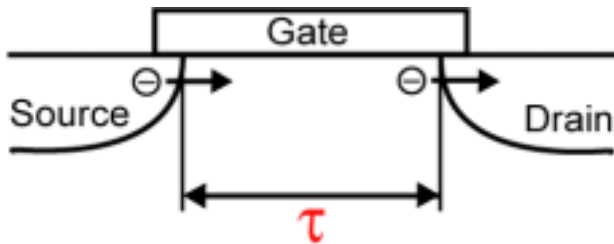
NQS効果のモデリング

PSP: Channel Segmentation

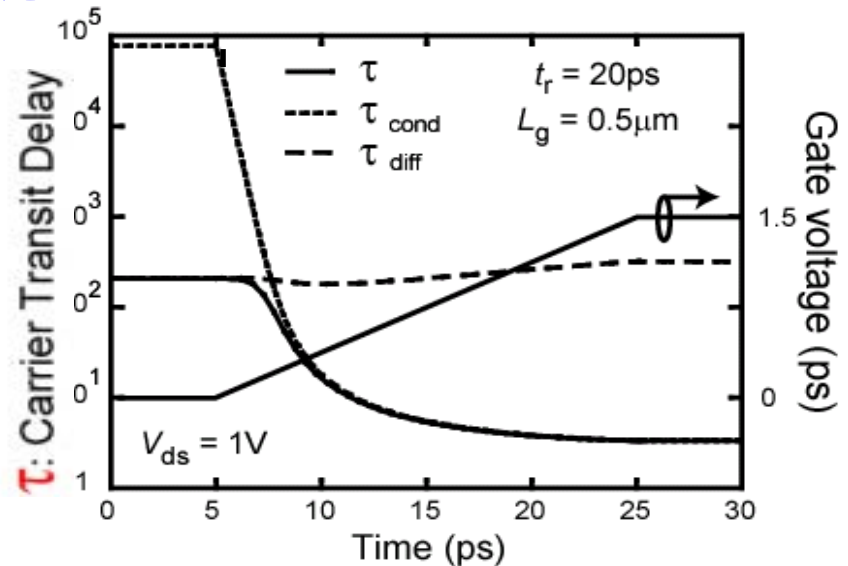
(10以上必要)



HiSIM: キャリア走行時間を考慮



τ : Carrier Transit Delay
(function of surface potentials)

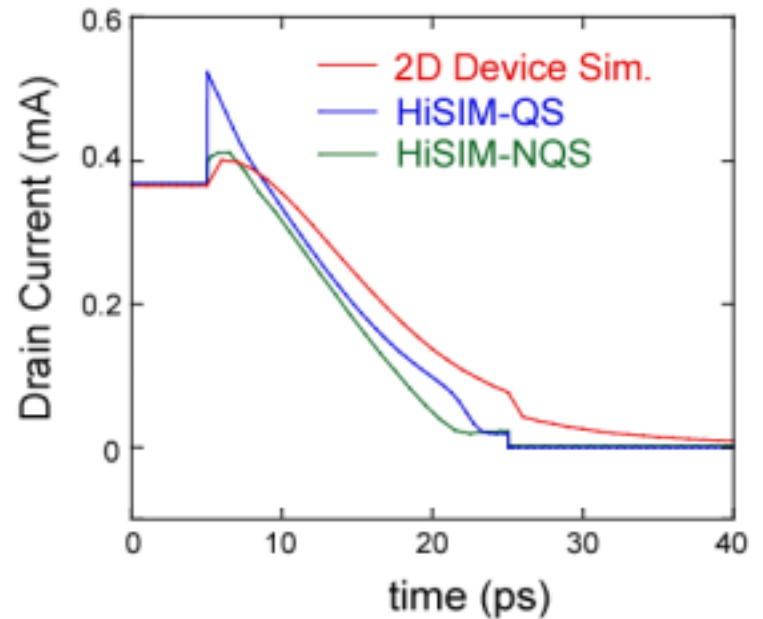
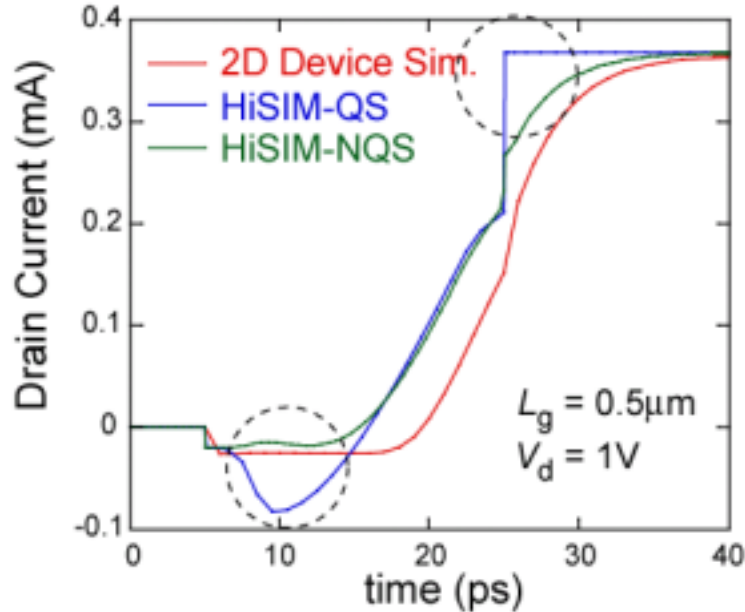


τ : channel長 / キャリア速度

N. Nakayama et al., IEE Electron. Lett., 40, p. 276, 04.

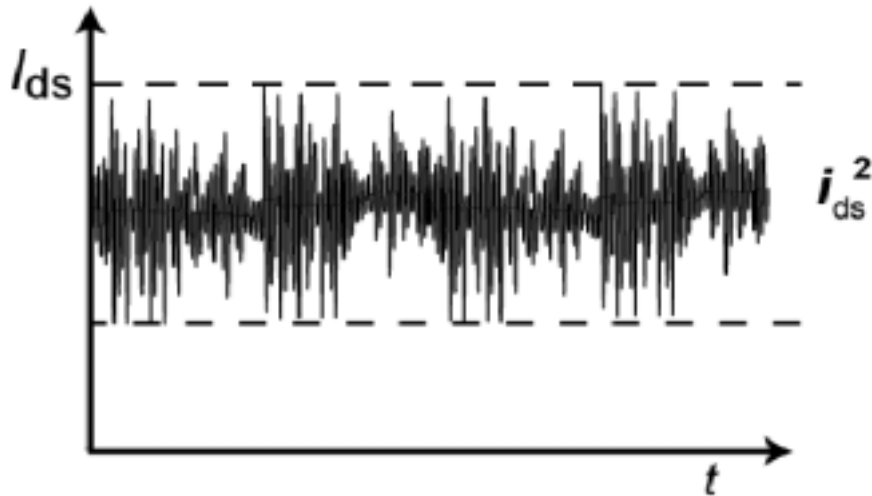
シミュレーション結果

$V_{gs}=1.5V$ rise/fall time = 20ps

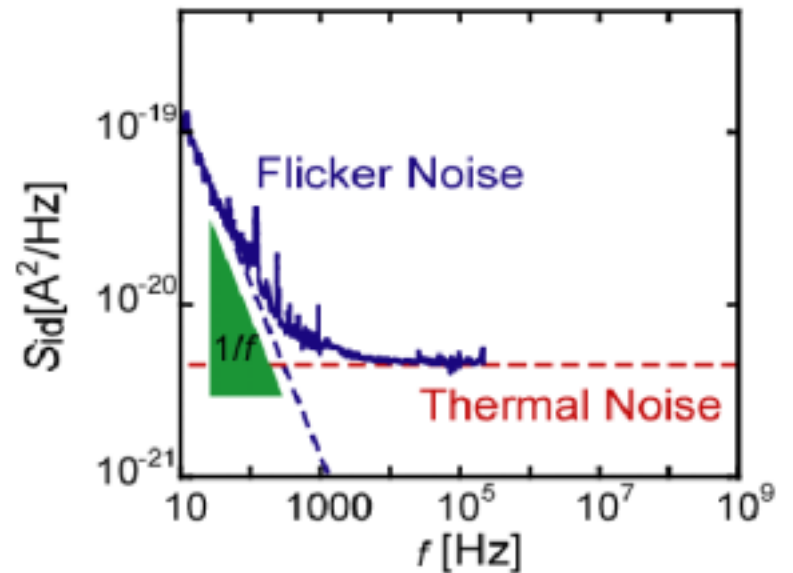


D. Navarro et al., IEEE TED, p. 2025, 2006.

MOSFETにおけるノイズ

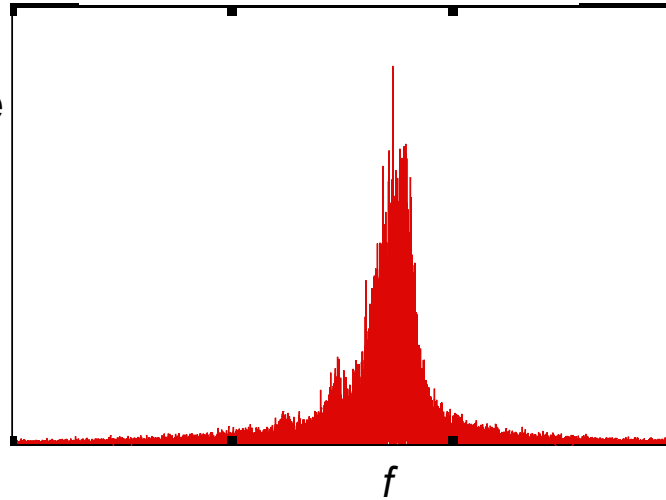


$$S_{id} = i_{ds}^2 / f$$

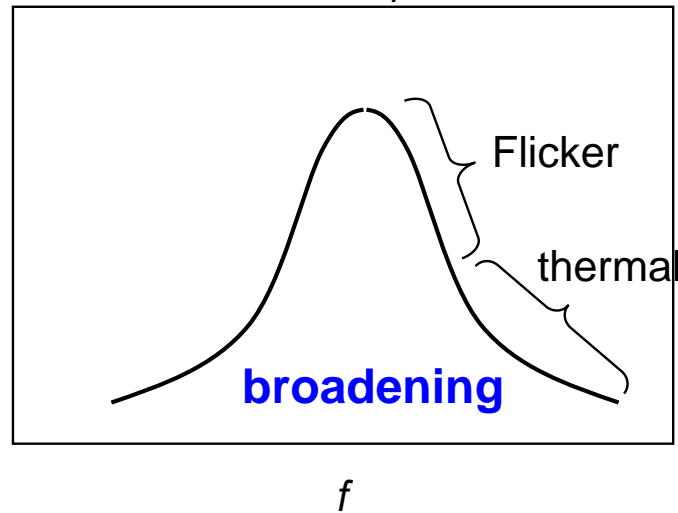


ノイズの問題

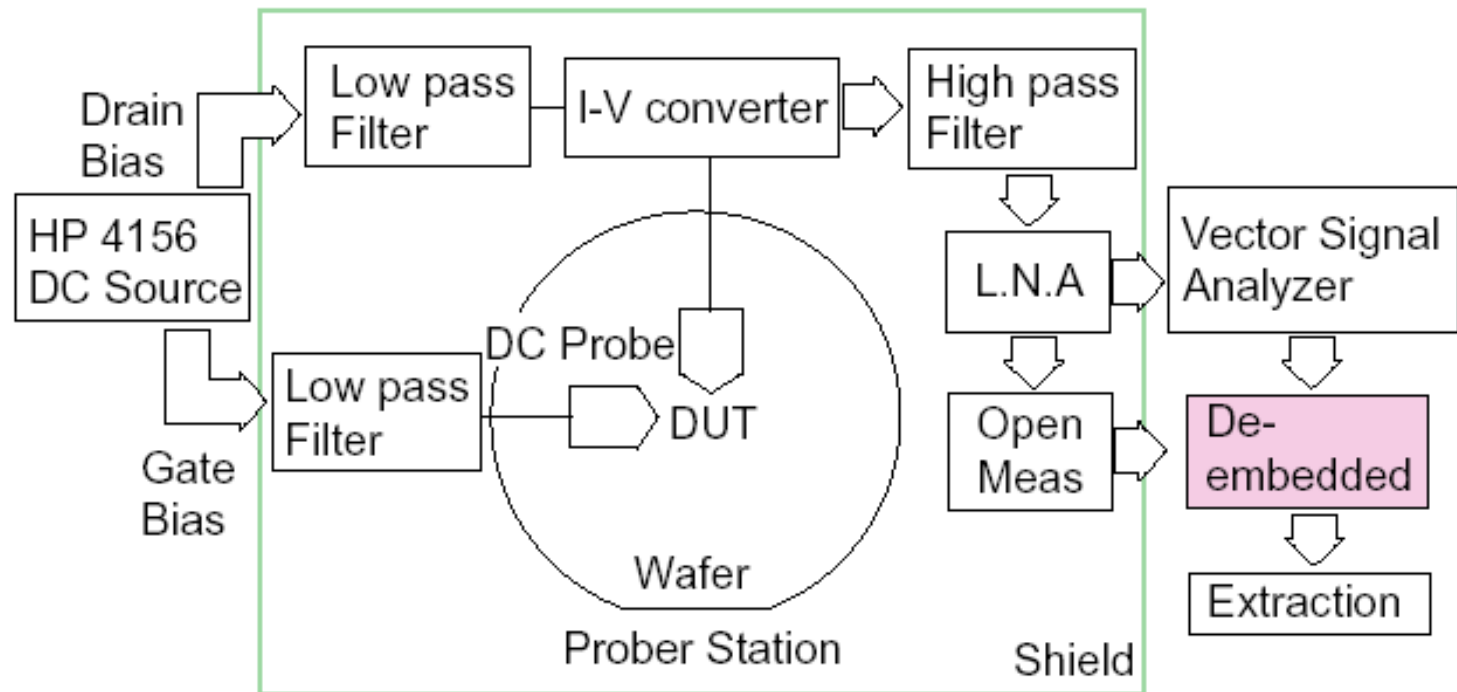
Without Noise



With Noise

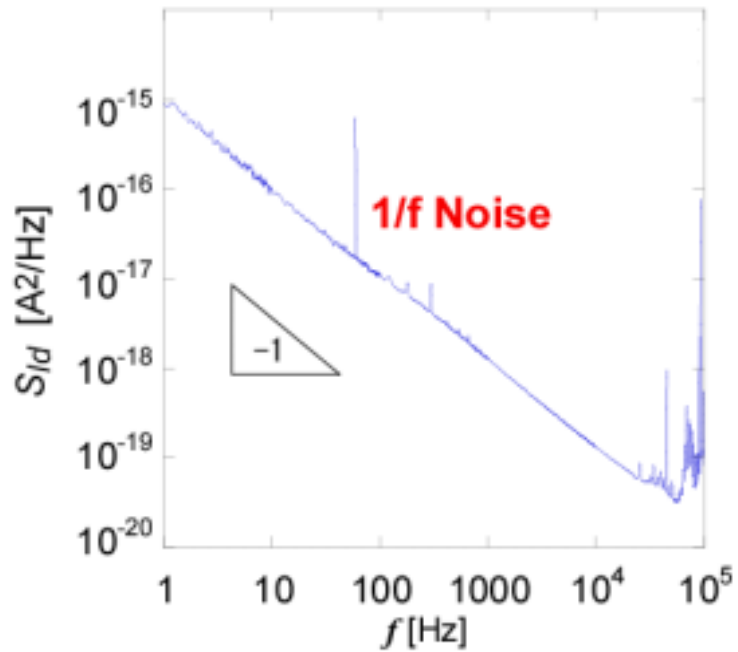


1/f ノイズの測定系

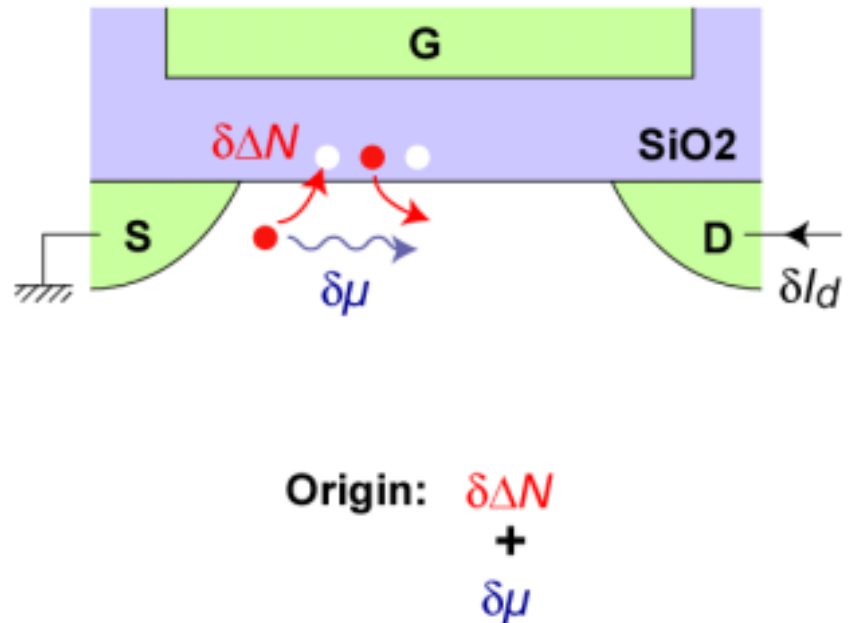


1/fノイズの起源

[測定値]

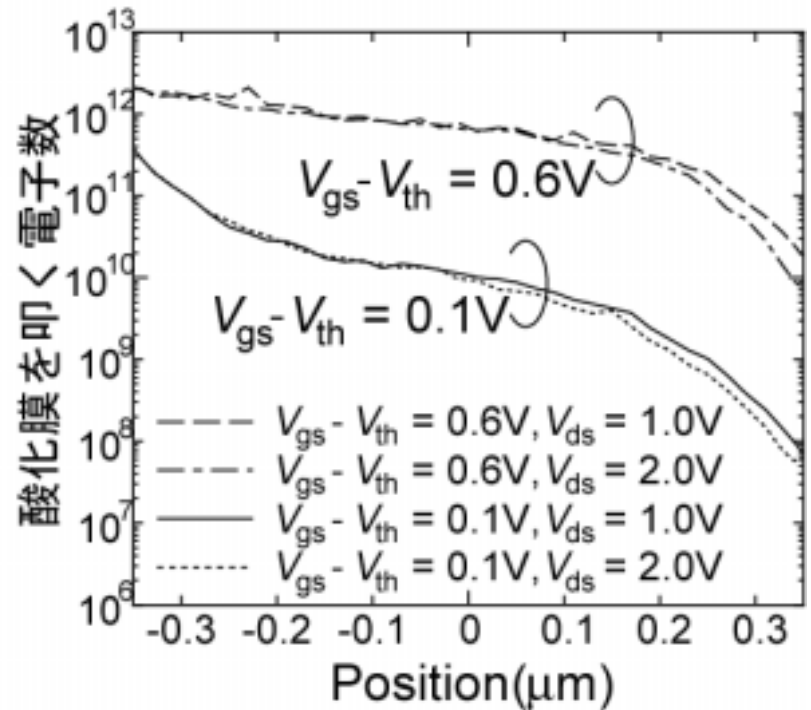
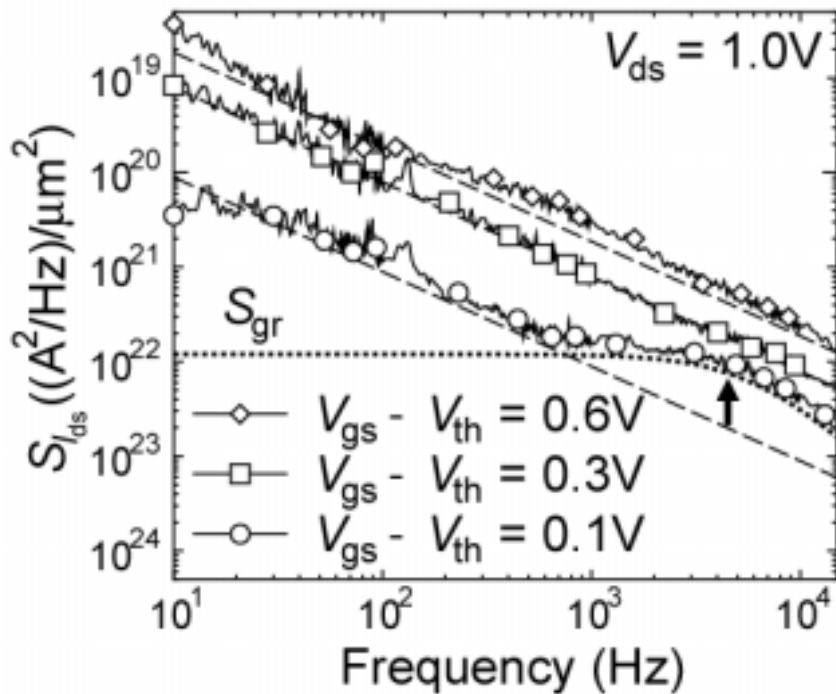


[原理]



たとえば : K. K. Hung et al. IEEE Trans. ED, 37, p.1323, 1990.

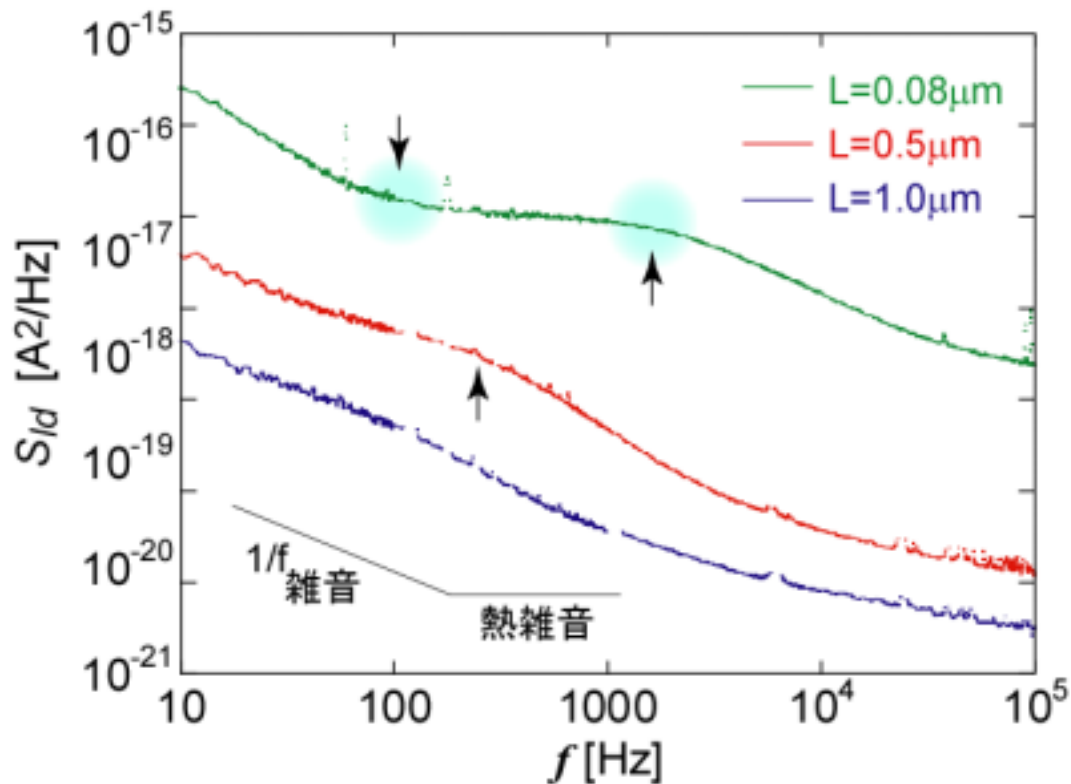
Monte Carloシミュレーション



ノイズは主に酸化膜でのTrap/Detrapによって生じる。

H. Ueno et al., Appl. Phys. Let., 78, p.380-382, 2001.

測定結果



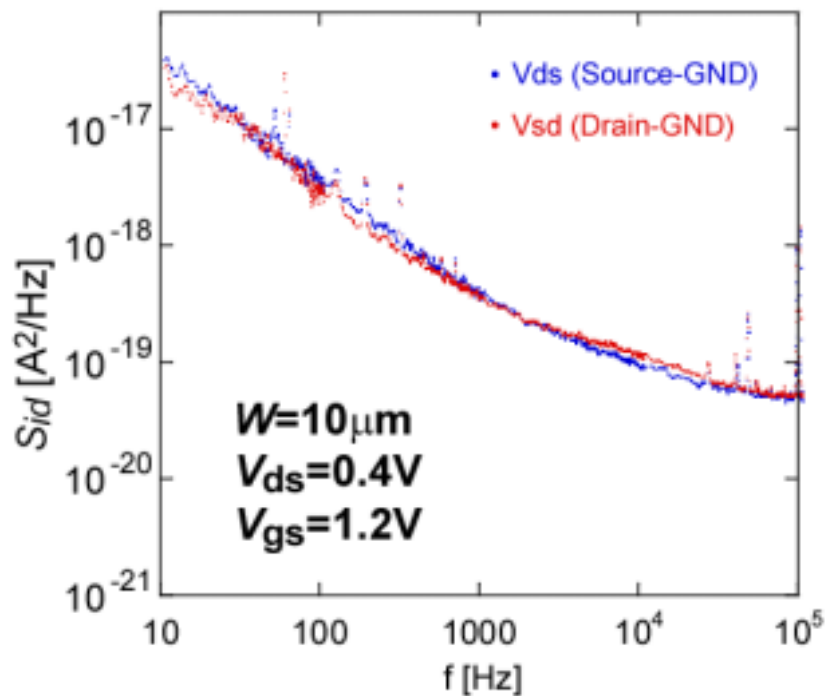
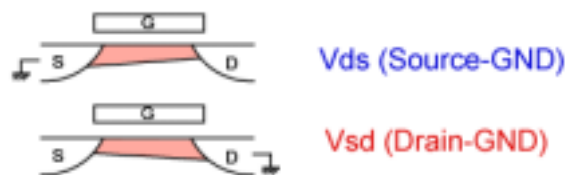
nMOSFET
 $W=10\mu\text{m}$
 $V_{gs}=1.2\text{V}$
 $V_{ds}=0.4\text{V}$

測定特性は必ずしも $1/f$ ではない。

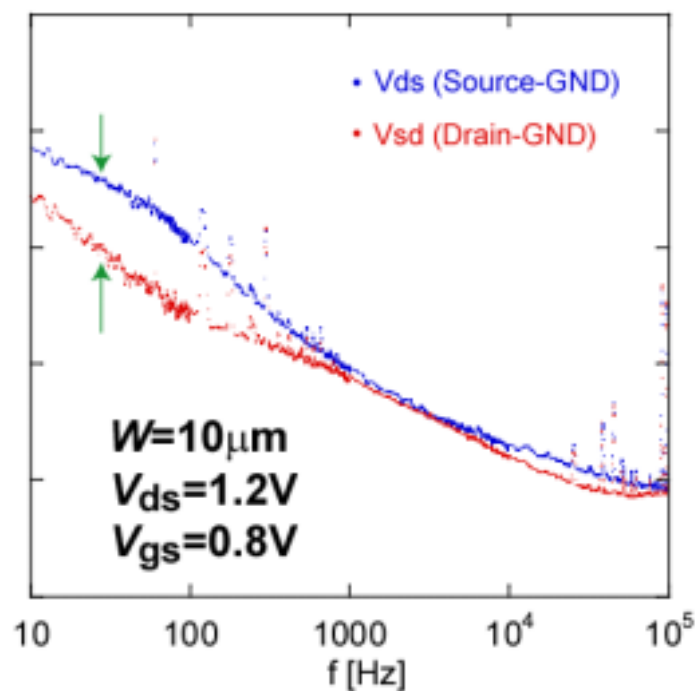
原因を説明：ソースとドレイン電極を入れ替えた測定

$L_g=1\mu\text{m}$ (nMOSFET)

Linear Condition

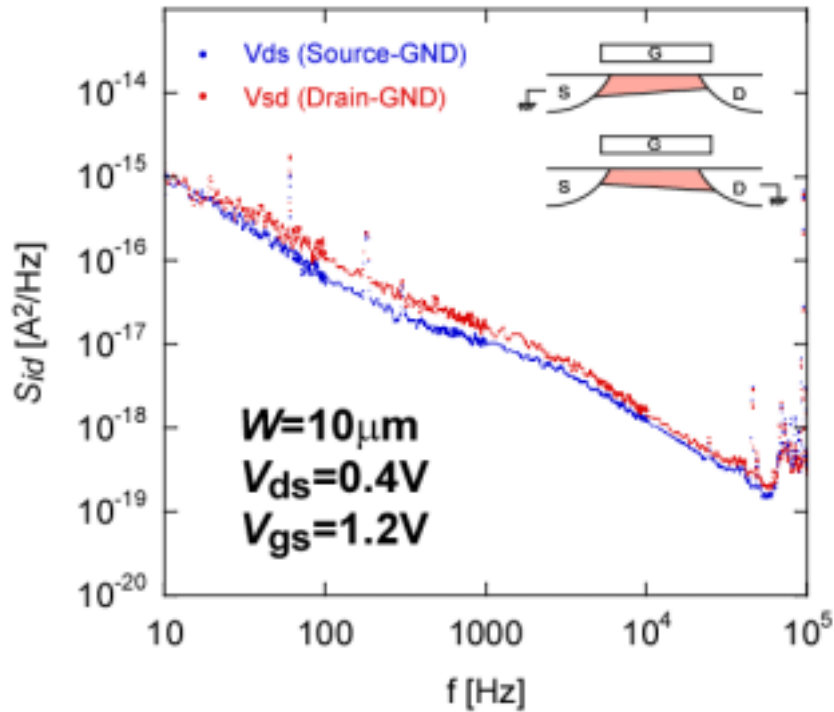


Saturation Condition

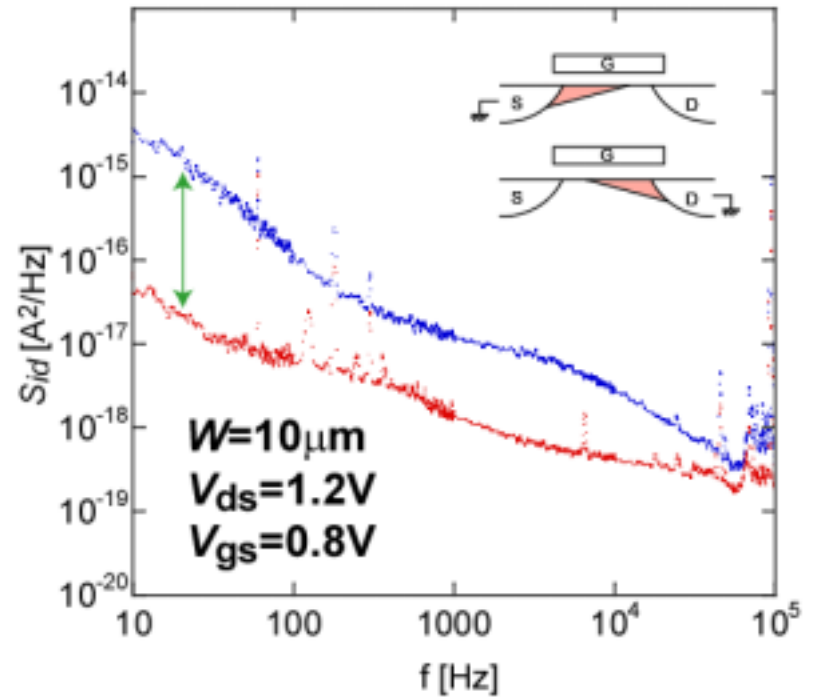


$L_g=0.13\mu\text{m}$ (nMOSFET)

Linear Condition

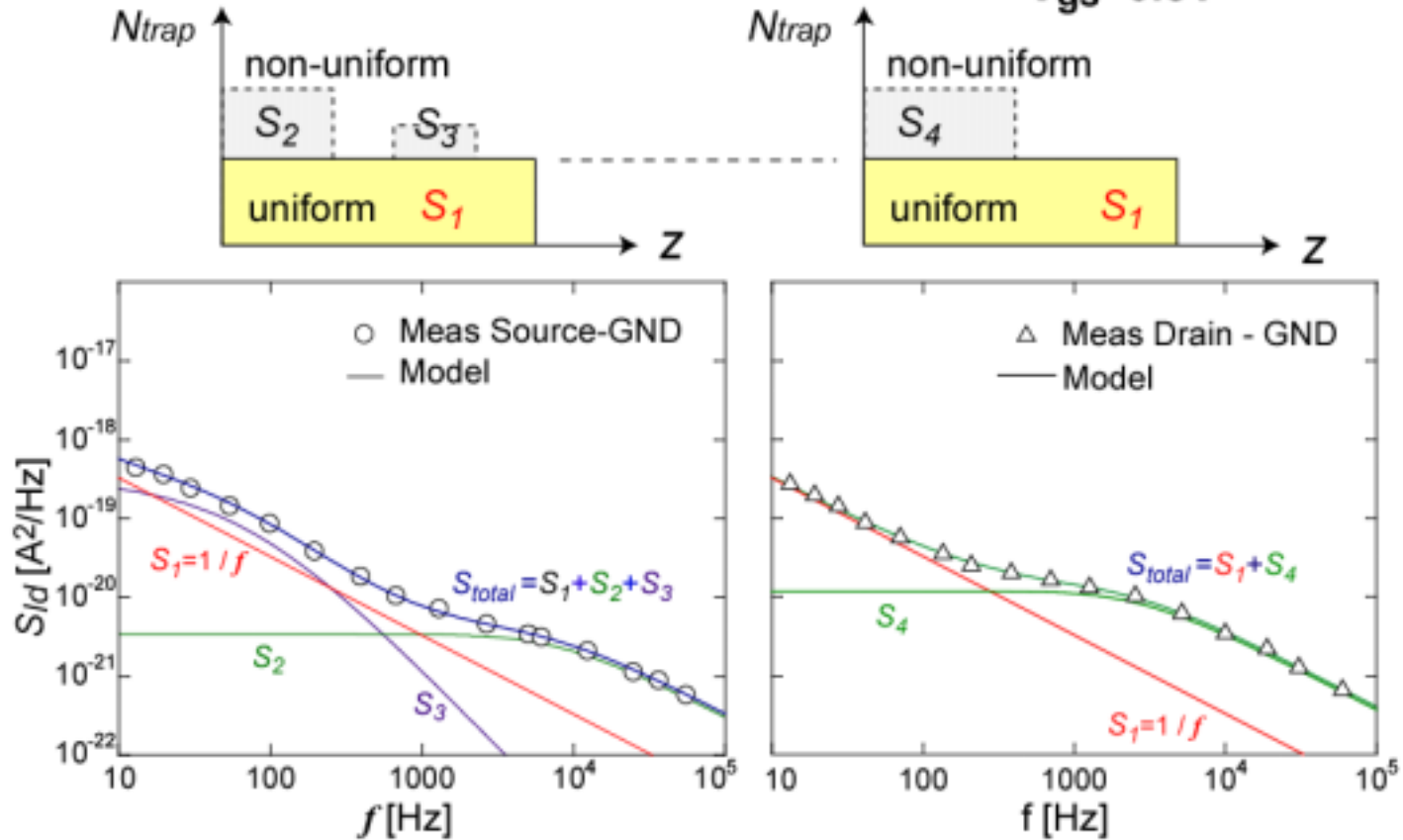


Saturation Condition



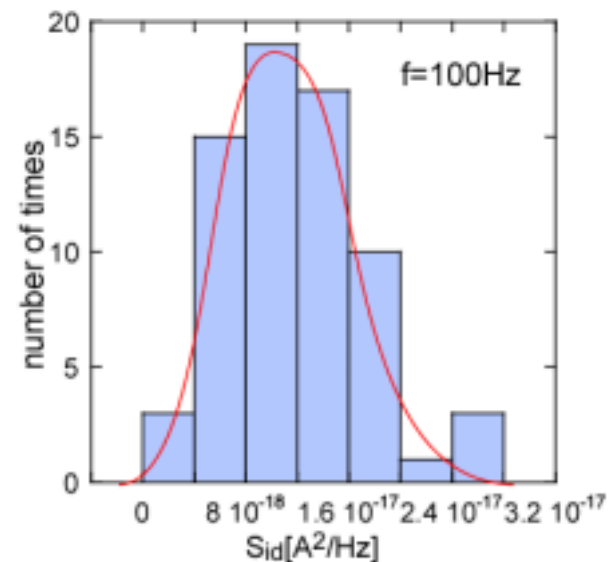
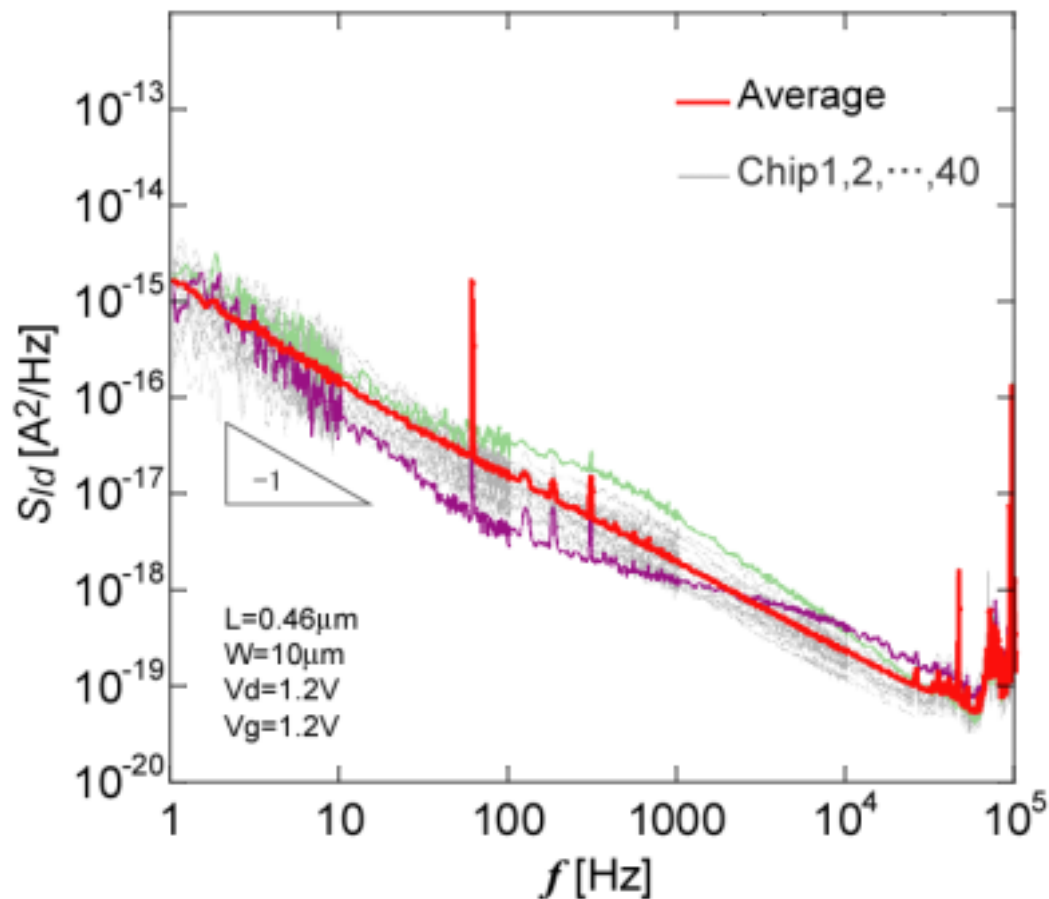
$L_g=1\mu\text{m}$ (nMOSFET)

Saturation Condition: $W_g=10\mu\text{m}$
 $V_{ds}=0.4\text{V}$
 $V_{gs}=0.5\text{V}$



不均一なTrap-Siteが原因

Waferの測定結果



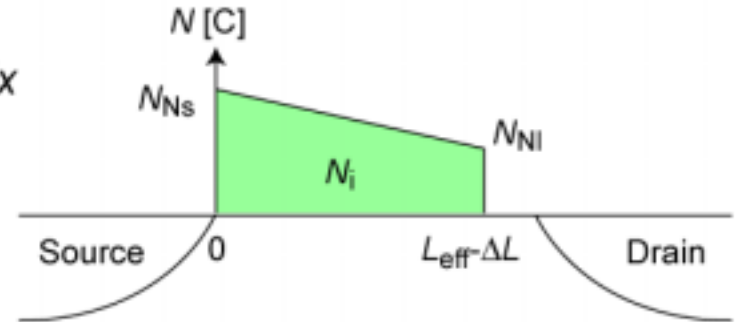
Trap-Siteはランダムに分布

ウェファ上の平均は $1/f$

S. Matsumoto et al., IEICE, Trans. Electron., vol. E88 - C, Feb, 2005.

表面ポテンシャルモデルHiSIMでのモデル化

$$S_{I_{ds}}(f) = \frac{W_g N_t}{q L_g^2 \eta f} kT \int_0^{L-\Delta L} \left(\frac{I_{ds}}{W_g} \right)^2 \left(\frac{1}{N(x)} \pm \alpha \mu \right)^2 dx$$



$$S_{I_d}(f) = \frac{(L-\Delta L)}{L^2} \frac{I_{ds}^2}{W} \frac{N_t(E_f)}{q \eta f} kT \left\{ \frac{1}{(N_s + N^*)(N_l + N^*)} + \frac{2\alpha\mu}{N_l - N_s} \log \left(\frac{N_l + N^*}{N_s + N^*} \right) + (\alpha\mu)^2 \right\}$$

$$\alpha = CIT \approx 0 ; N^* = \frac{C_{ox} + C_{dep} + CIT}{q\beta} ; N_s: \text{ソース端のキャリア数} \\ N_l: \text{ドレイン端のキャリア数}$$

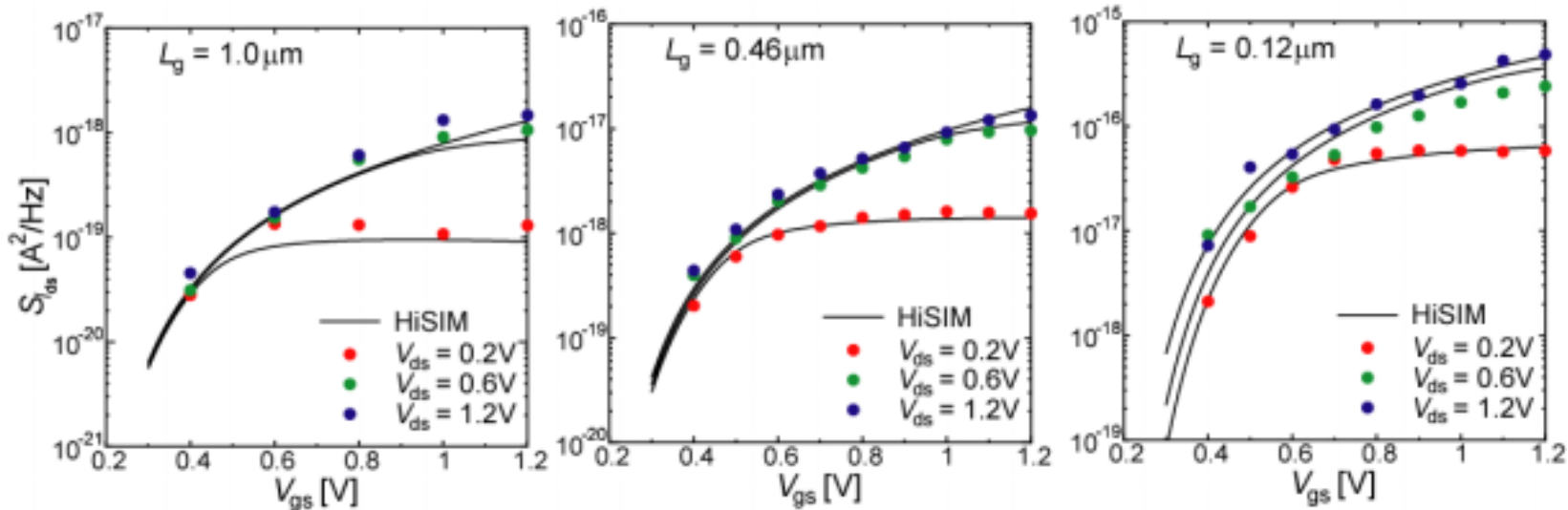
[Model Parameters]

Trap Density: $N_{trap} = N_t(E_f) / \eta$ [$eV^{-1}cm^{-3}$][cm] = [$eV^{-1}cm^{-2}$]

Scattering Coeff.: α [Vs]

Flicker Noiseはキャリアのチャネル内分布によって決まる。

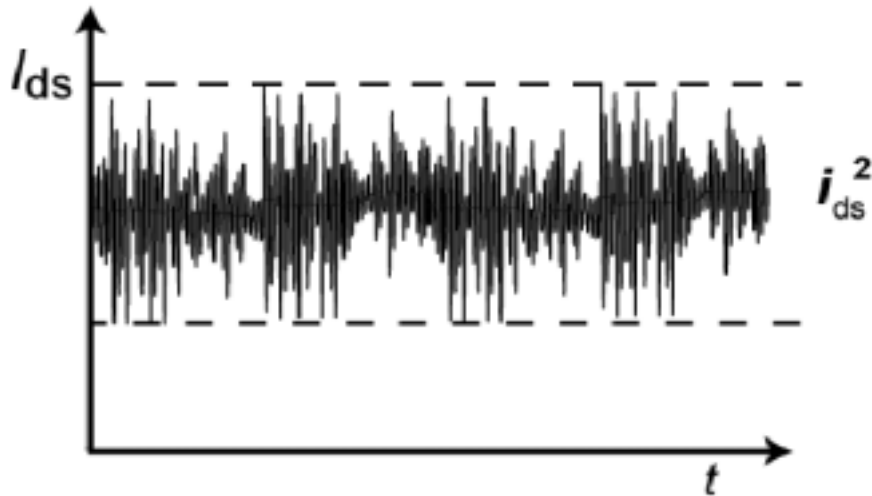
1/fノイズの測定値との比較



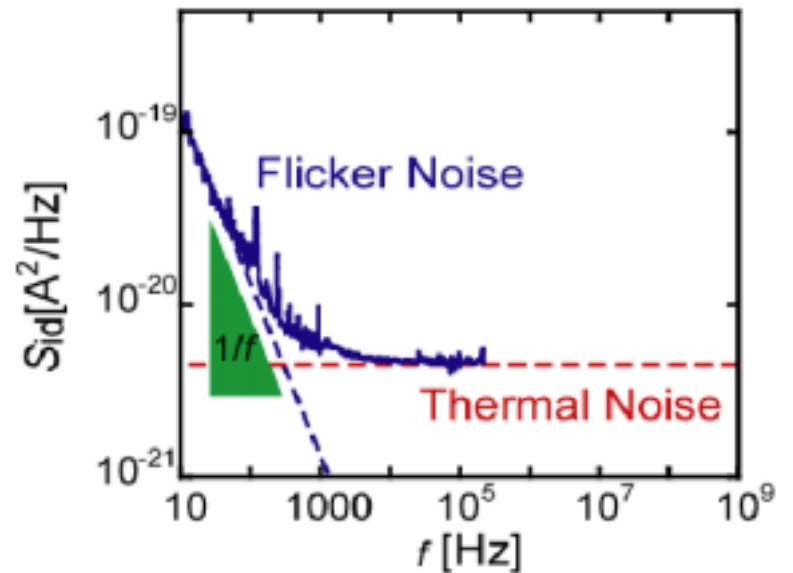
- N_{trap} と α がモデルパラメタ
- 安定した技術であればdefaultで十分

➤ チャンネル内キャリアの分布が1/fノイズ特性を決定している。

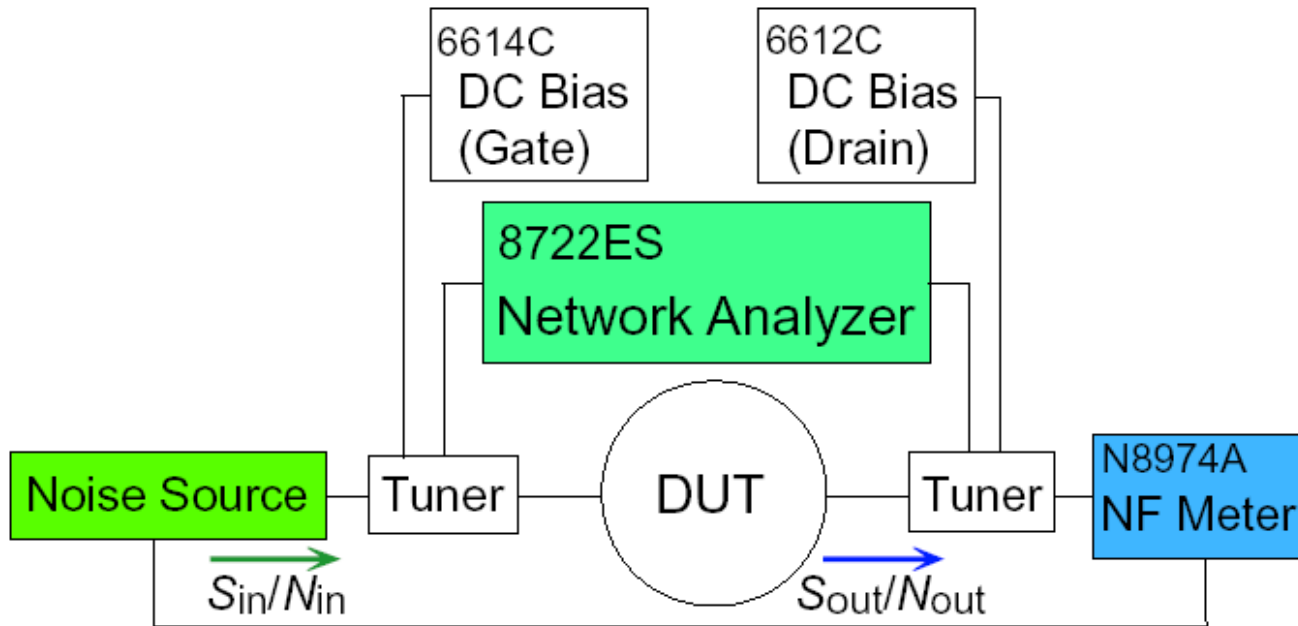
MOSFETにおけるノイズ



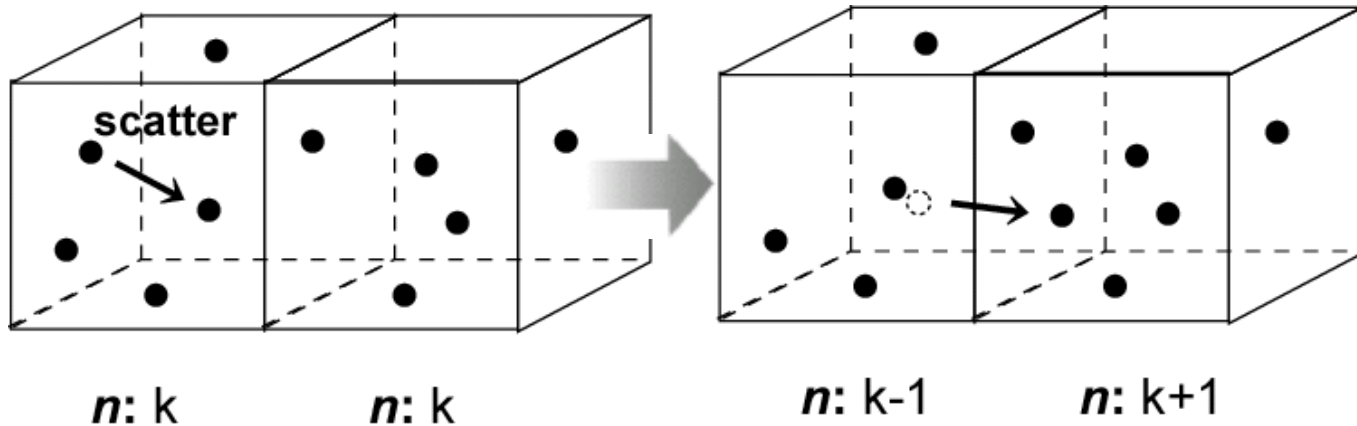
$$S_{id} = i_{ds}^2 / f$$



Noise Figure測定



Thermalノイズの起源



- van der Ziel Description based on Nyquist's Theorem

$$S_{id} = \frac{4kT}{L_{eff}^2 I_{ds}} \int g_{ds}^2(y) dy$$

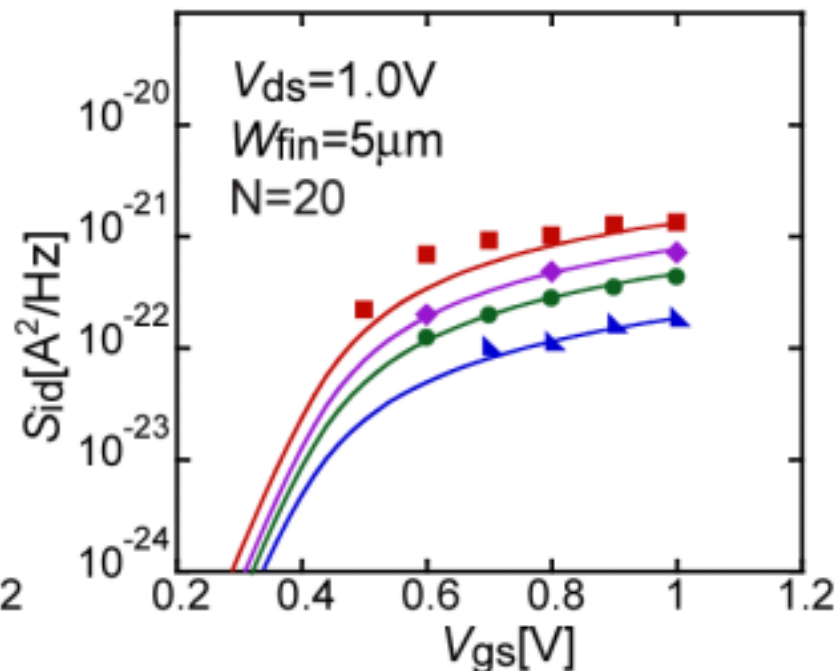
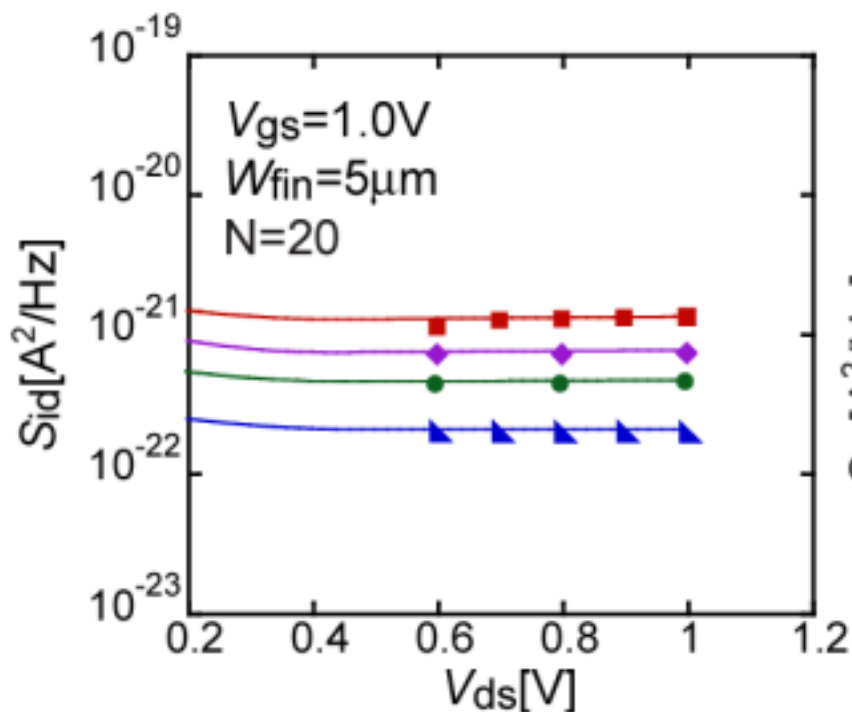
$$= 4kT g_{ds0} \gamma$$

$g_{ds}(y)$: Channel Conductance

g_{ds0} : at $V_{ds}=0$

γ : Noise Coefficient

測定値とHiSIM計算結果の比較



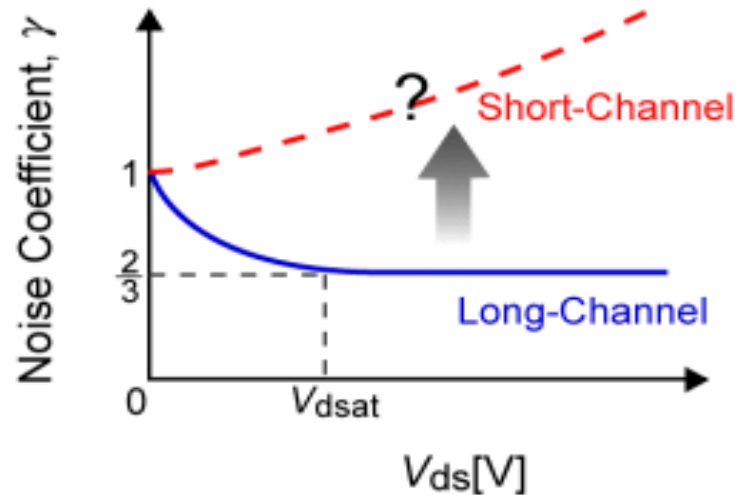
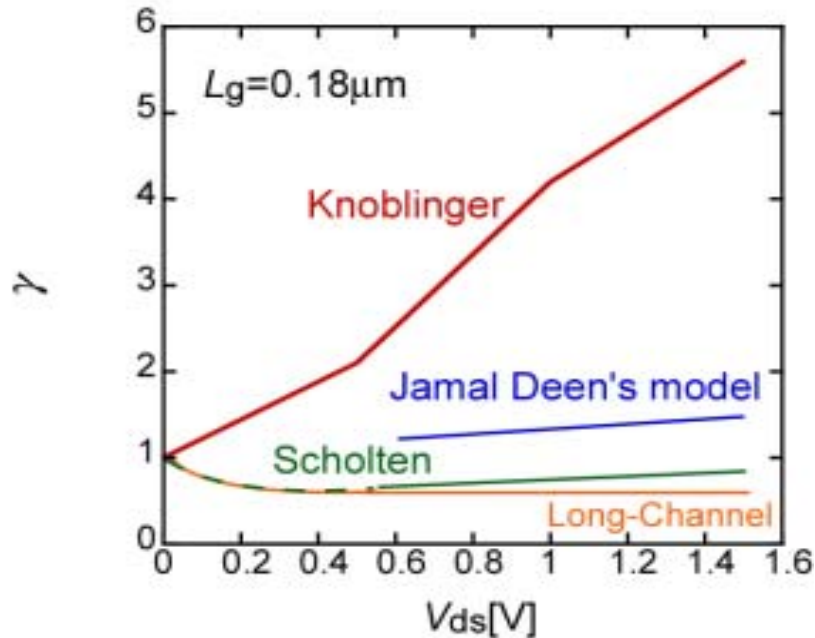
- $L_g = 0.17\mu m$
- $L_g = 0.3\mu m$
- $L_g = 0.5\mu m$
- $L_g = 1.0\mu m$

Lines: HiSIM

Symbols: Measurements

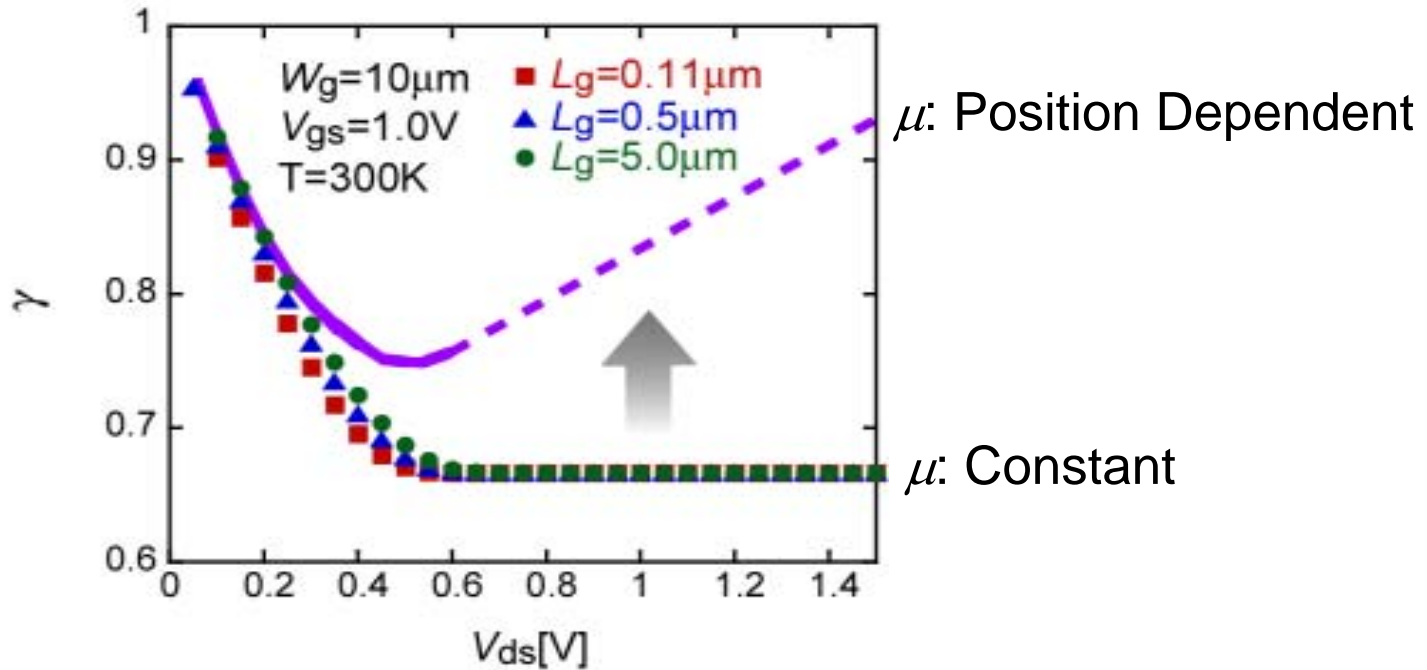
モデルパラメタはなし

ノイズ係数の考察



- Knoblinger et al. (2001): Hot Electron Contribution
- Jamal Deen et al. (2002): Channel Length Modulation
- Scholten et al. (2002): Velocity Saturation

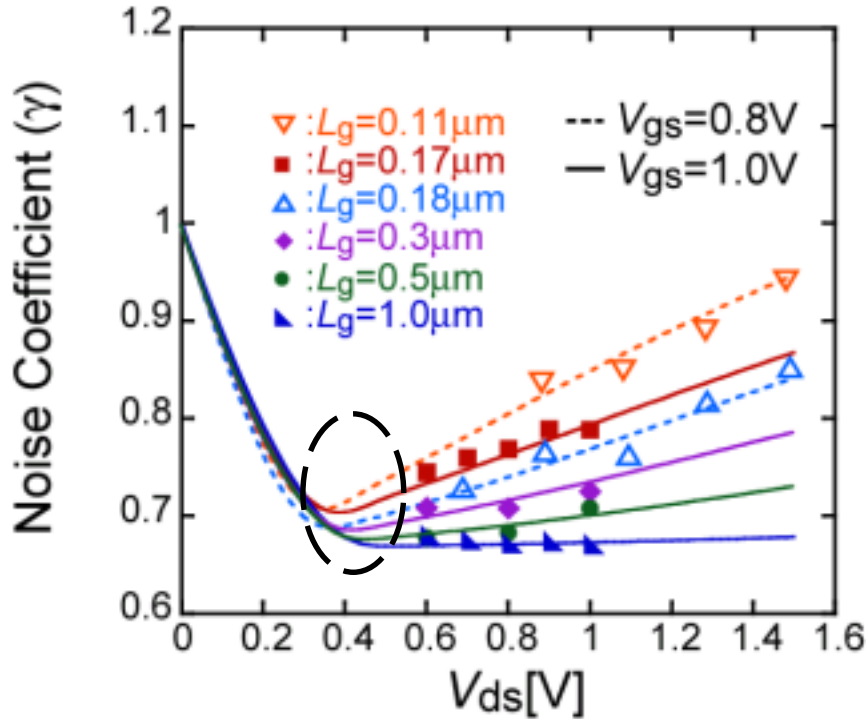
測定特性の解析



Origin of γ Increase \rightarrow Mobility Reduction along Channel

γ Increase \rightarrow Potential Increase

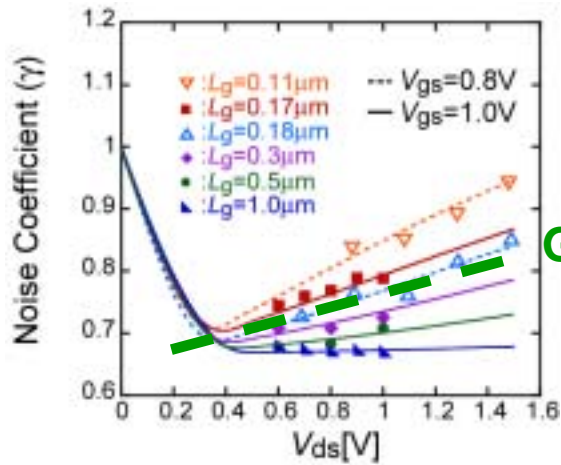
異なるテクノロジーの比較



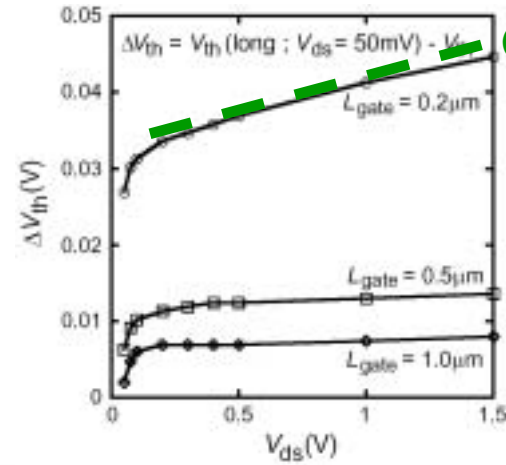
Lines: Simulation (HiSIM)
Symbols: Measurements

- first γ reduction and increase in the saturation region
- no drastic increase of γ
- γ minimum increase from 2/3

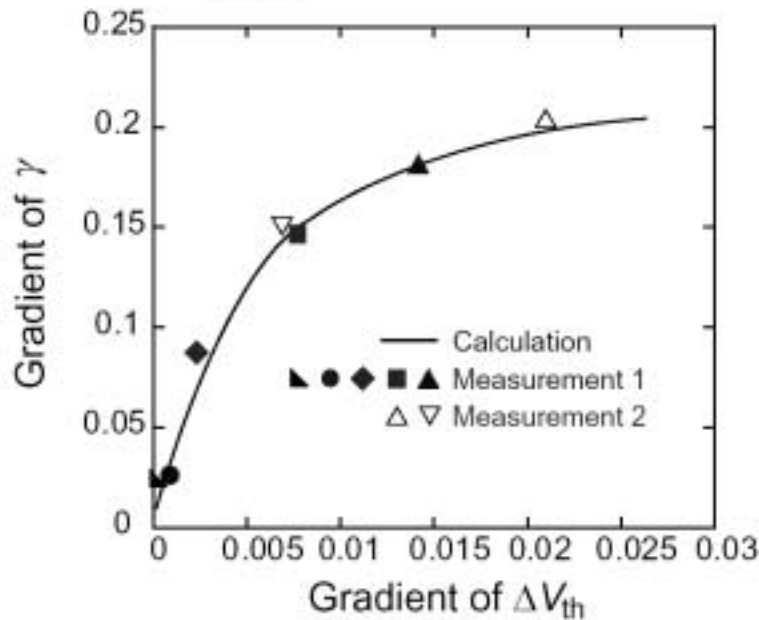
V_{th} shiftとの関係



Grad. γ



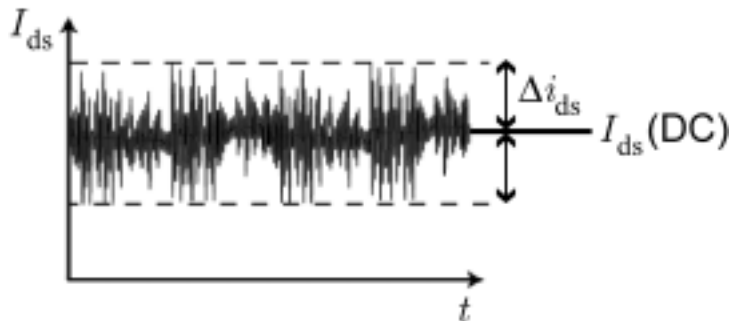
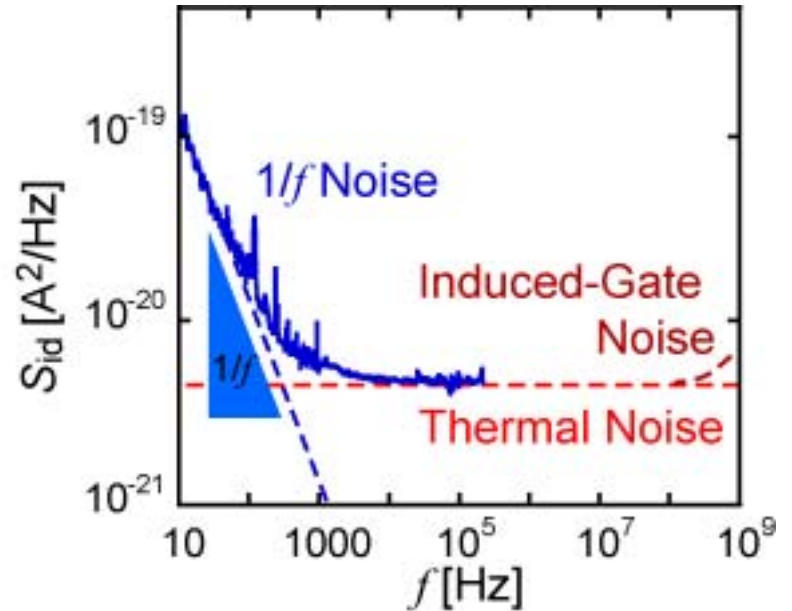
Grad. ΔV_{th}



Universal Relationship

MOSFETにおける更なるノイズ

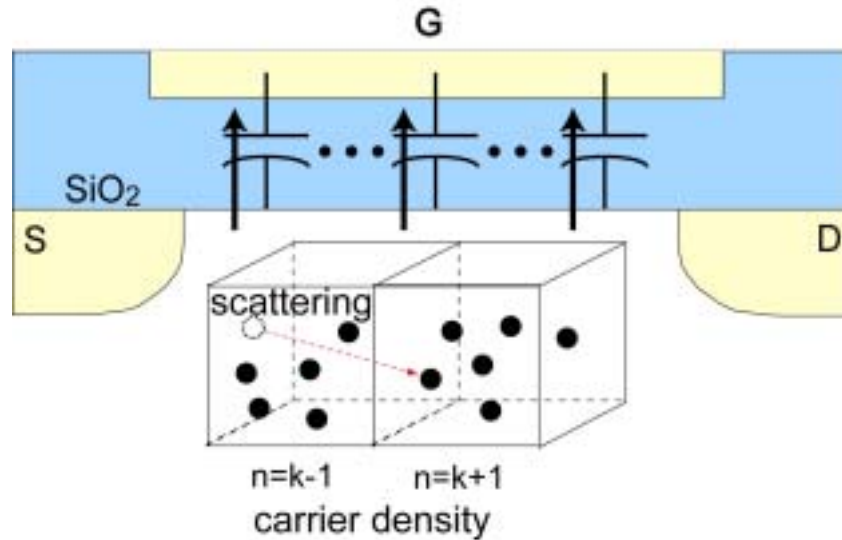
- $1/f$ Noise
- Thermal Noise
- Induced Gate Noise
- Cross-Correlation Noise
- Shot Noise
- Junction Noise



Noise Spectral Intensity

$$S_{i_d} = \frac{\overline{\Delta i_{ds}^2}}{f}$$

Induced Gate & Cross Correlation Noise



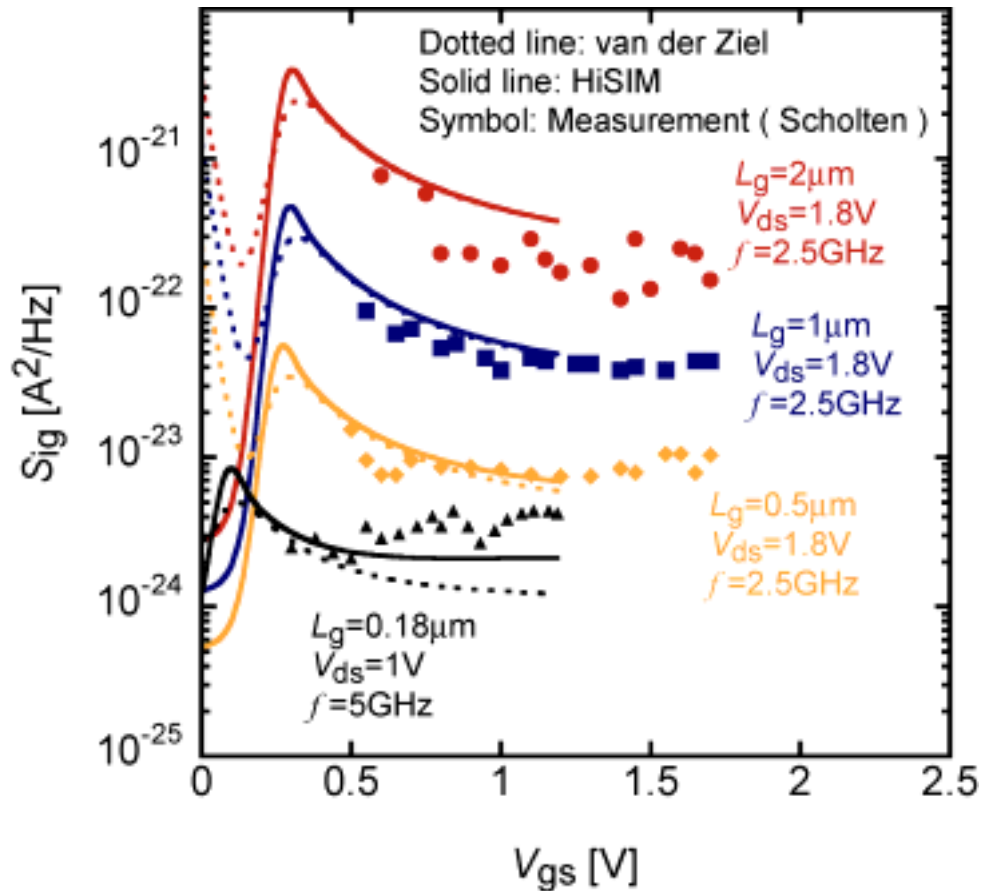
$$S_{i_g} = \int |\Delta i_g|^2 dx = \int (\Delta I_1' + \Delta I_2')^2 \Delta v^2 dx : \text{induced gate}$$

$$S_{i_g i_d} = \int \Delta i_g^* \Delta i_d dx = \int (\Delta I_1' + \Delta I_2')^* (\Delta I_2') \Delta v^2 dx : \text{cross - correlation}$$

モデルパラメタなし

T. Warabino et al., Proc. SISPAD, p. 158, 2006.

測定値の考察

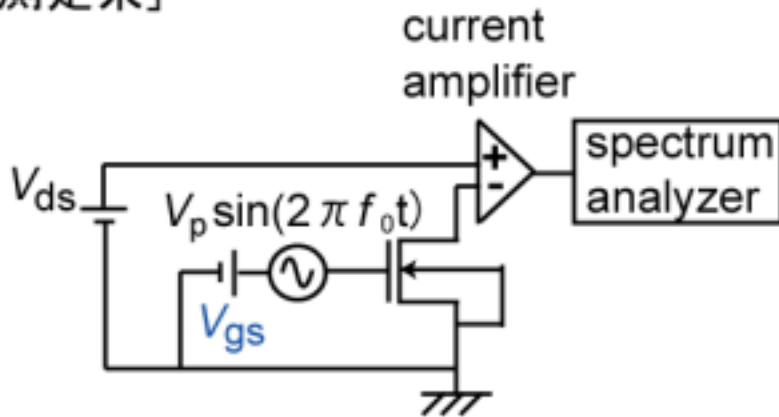


A. J. Scholten et al., Tech. Dig. IEDM, p. 867, 2003.

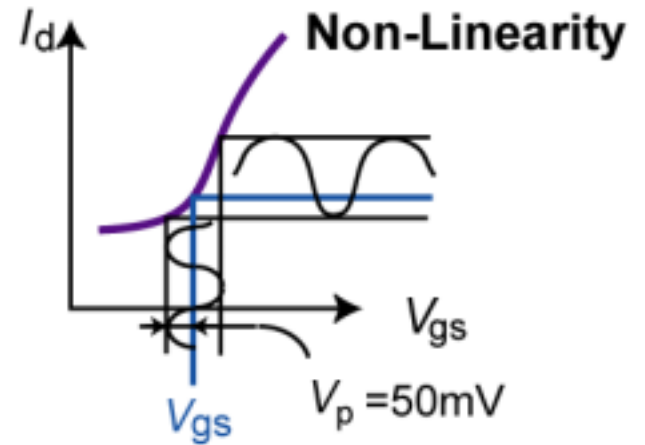
T. Warabino et al., Proc. SISPAD, p. 158, 2006.

高調波ひずみ

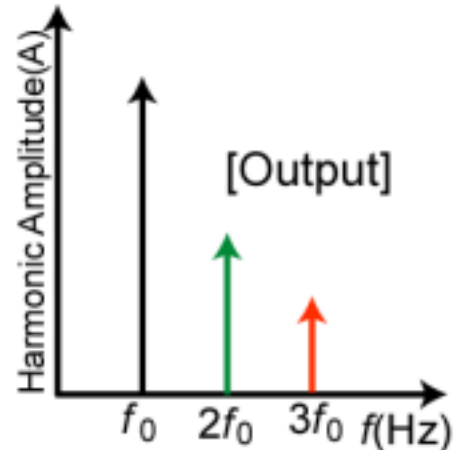
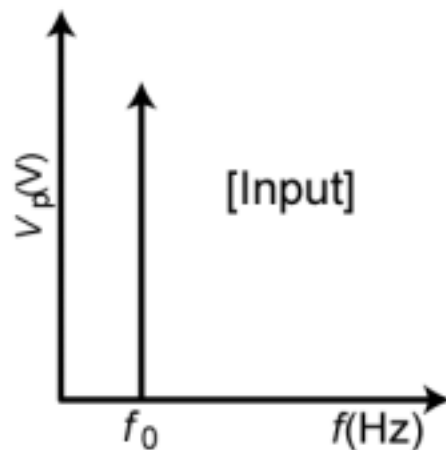
[測定系]

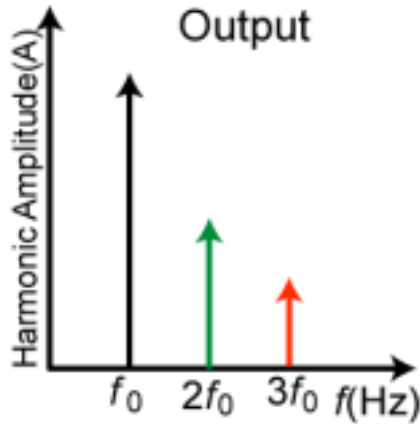


[原理]

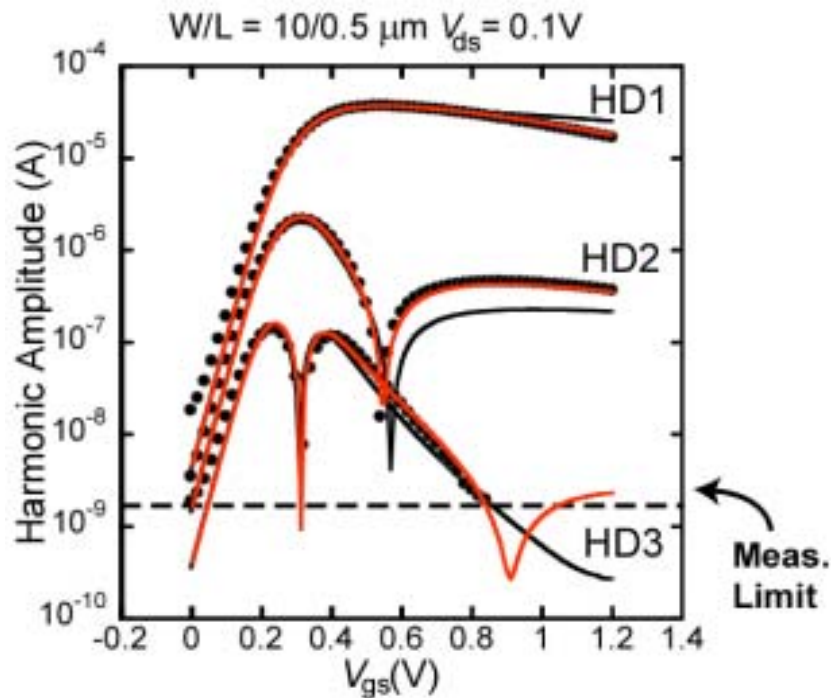


[測定結果]

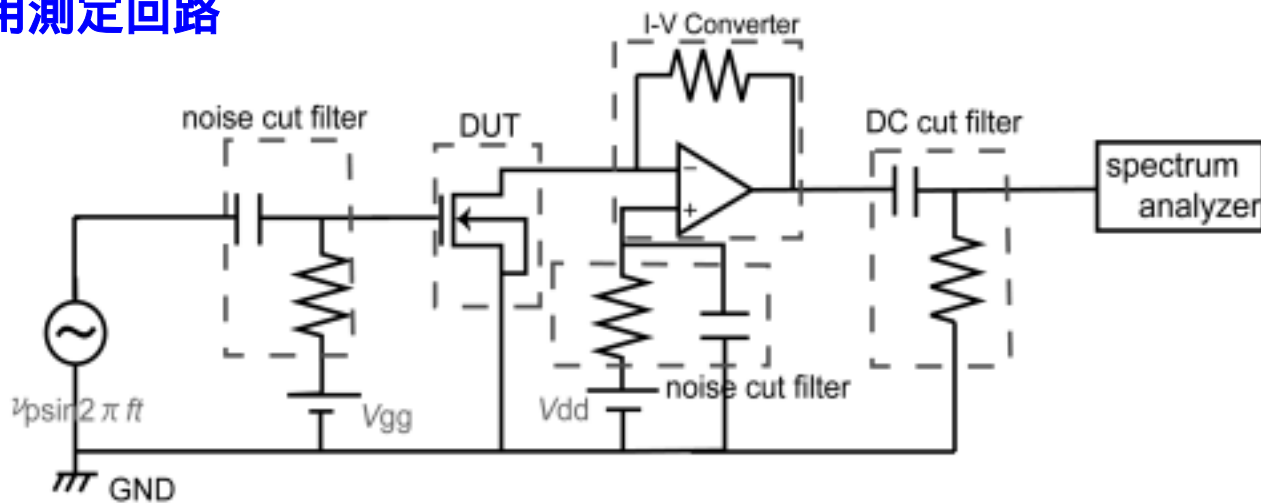




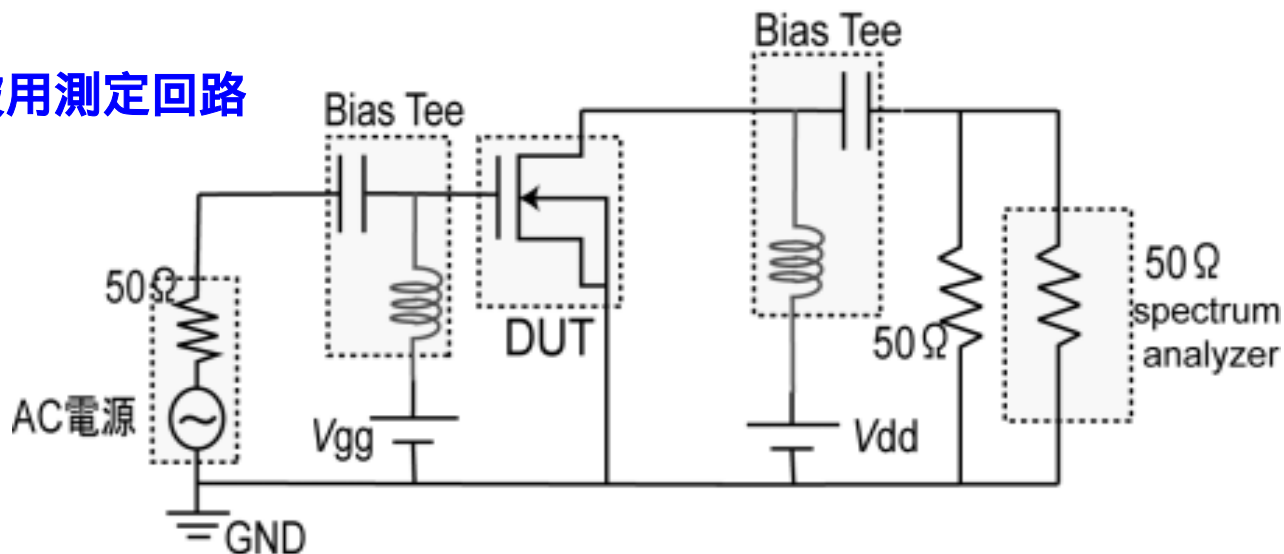
$$\begin{aligned}
 i = & \frac{dI_{ds}}{dV_{gs}} V_p \cos(2\pi f_0 t) \\
 & + \frac{1}{4} \frac{d^2 I_{ds}}{dV_{gs}^2} V_p^2 \cos(2\pi 2f_0 t) \\
 & + \frac{1}{24} \frac{d^3 I_{ds}}{dV_{gs}^3} V_p^3 \cos(2\pi 3f_0 t) + \dots
 \end{aligned}$$



低周波用測定回路

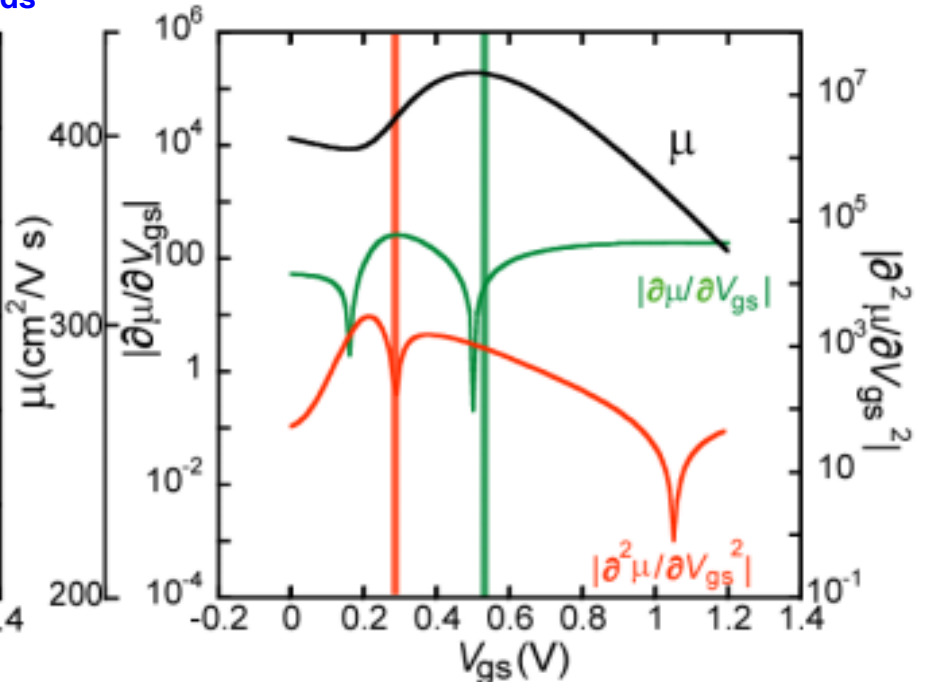
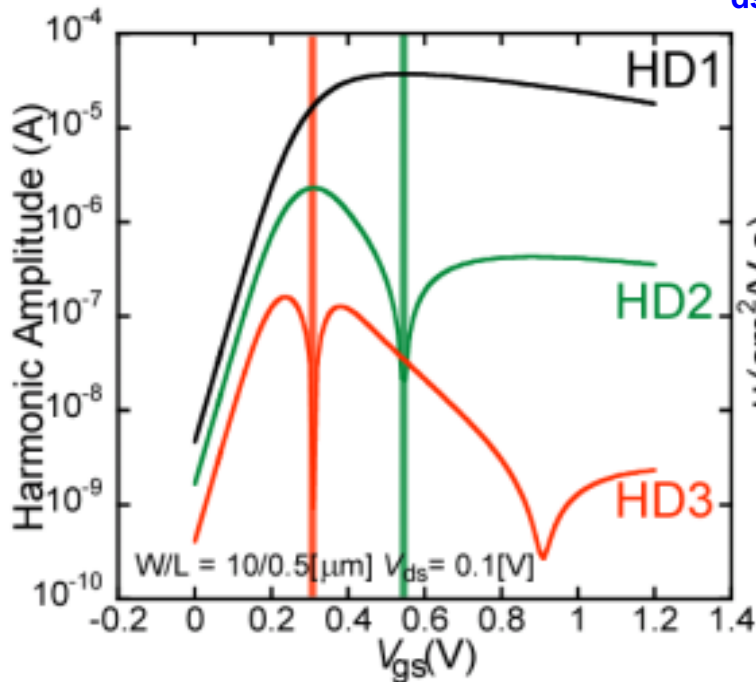


高周波用測定回路



低周波における高調波ひずみ

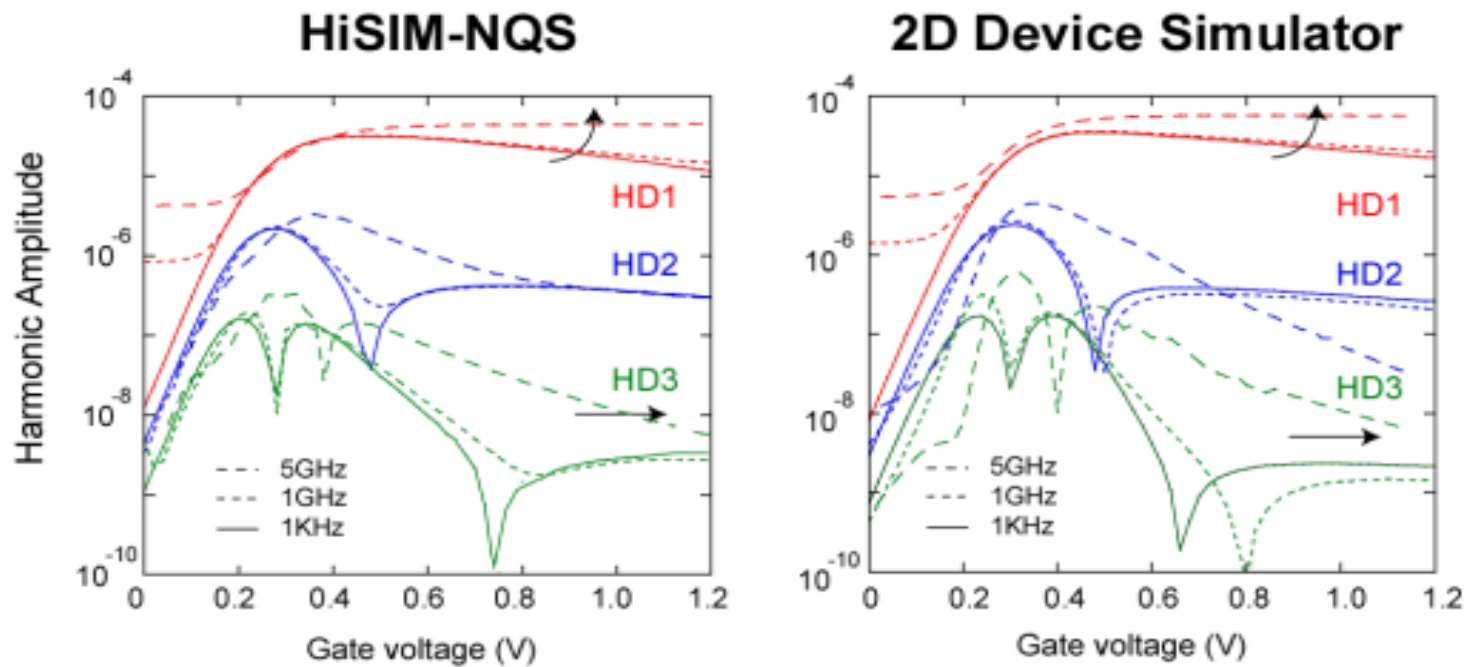
$V_{ds}=0.1V$



$$\text{HD1} \approx \left| V_P \frac{\partial I_{ds}}{\partial V_{gs}} \right| \quad \text{HD2} \approx \left| -\frac{1}{4} V_P^2 \frac{\partial^2 I_{ds}}{\partial V_{gs}^2} \right| \quad \text{HD3} \approx \left| -\frac{1}{24} V_P^3 \frac{\partial^3 I_{ds}}{\partial V_{gs}^3} \right|$$

移動度特性がHD特性を支配している

高周波における高調波ひずみ



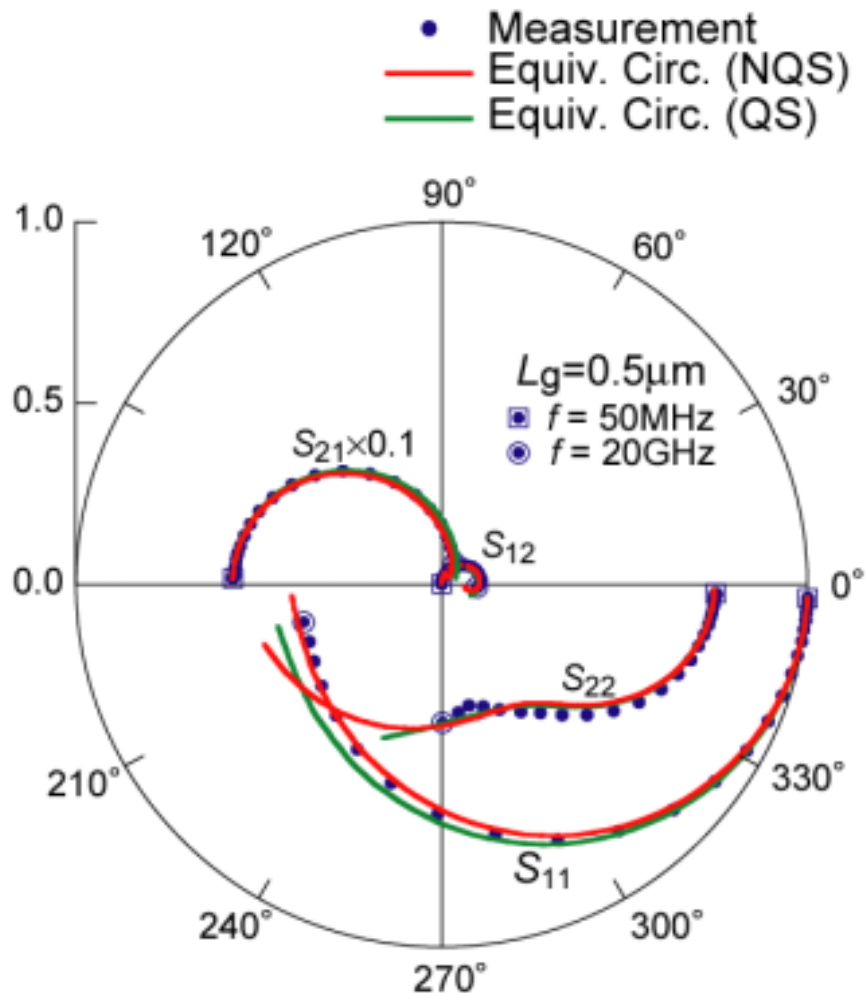
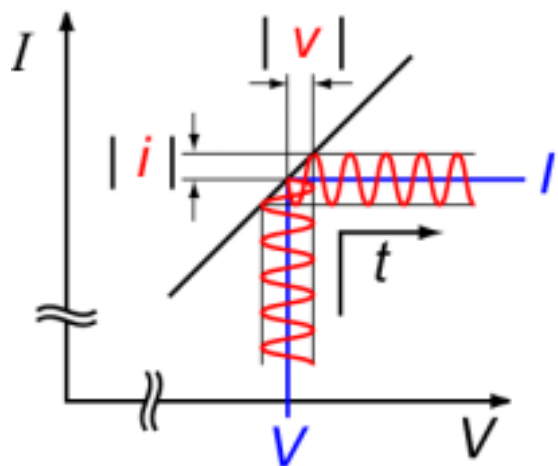
Carrier transit delay dominates the HD characteristics.

Y-パラメタ特性

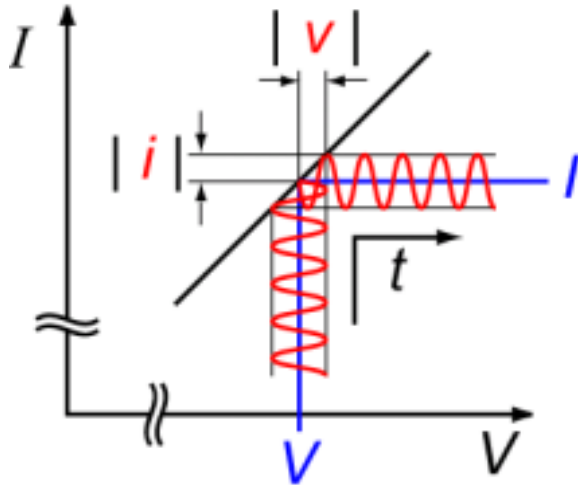
Small Signal

$$v = |v| \exp(j\omega t)$$

$$i = |i| \exp(j\omega t)$$



小信号解析



$$v = |v| \exp(j\omega t) \quad \text{: 小信号}$$

$$i = |i| \exp(j\omega t)$$



$$\begin{bmatrix} i_g \\ i_d \end{bmatrix} = \begin{bmatrix} Y_{gg}(\omega) & Y_{gd}(\omega) \\ Y_{dg}(\omega) & Y_{dd}(\omega) \end{bmatrix} \begin{bmatrix} v_g \\ v_d \end{bmatrix}$$

$$Y_{\alpha\beta} = \text{Re}(Y_{\alpha\beta}) + j \text{Im}(Y_{\alpha\beta})$$

Admittance Matrix

S-Parameters : Power Measurement



Y-Parameters : Admittance

$$\begin{bmatrix} i_g \\ i_d \end{bmatrix} = \begin{bmatrix} Y_{11}(\omega) & Y_{12}(\omega) \\ Y_{21}(\omega) & Y_{22}(\omega) \end{bmatrix} \begin{bmatrix} V_g \\ V_d \end{bmatrix}$$

Admittance Matrix

$$Y_{\alpha\beta} = \text{Re}(Y_{\alpha\beta}) + j\text{Im}(Y_{\alpha\beta})$$

Analytical Description:

$$Y_{11}(\omega) = \omega^2 R_g C_{gg}^2 + j\omega C_{gg}$$

$$Y_{21}(\omega) = g_m - \omega^2 R_g C_{gg} (C_m + C_{gd})$$

HiSIM-SSA

$$Y_{dg} = \frac{g_m - \frac{2}{3} g_m \bar{s} \frac{\alpha(\alpha+2)}{(1+\alpha)^2} - \frac{2}{45} g_m \bar{s}^2 \frac{\alpha(1-\alpha)(2\alpha^2+8\alpha+5)}{(1+\alpha)^3} \dots}{1 + \frac{4}{15} \bar{s} \frac{(1-\alpha)(1+3\alpha+\alpha^2)}{(1+\alpha)^3} + \frac{1}{45} \bar{s}^2 \frac{(1-\alpha)^2(1+4\alpha+\alpha^2)}{(1+\alpha)^4} \dots}$$

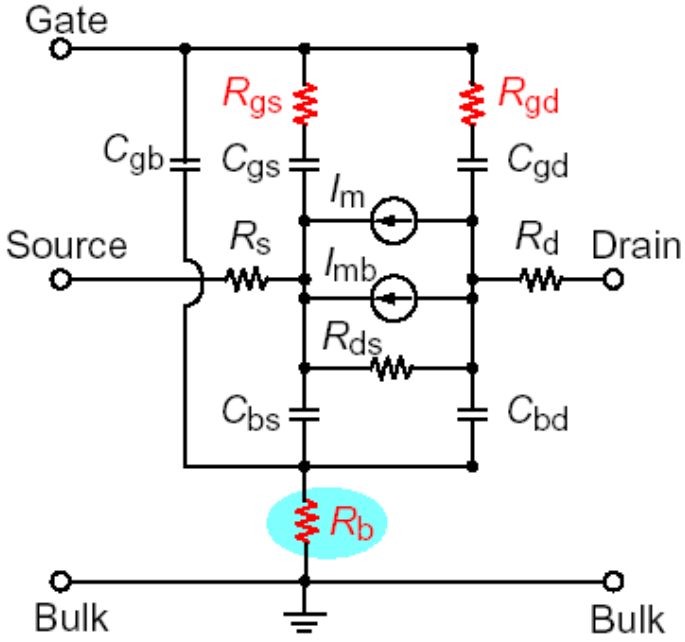
$$\bar{s} = j\omega / \omega_0 = j\omega C_{gg} / g_m \quad \alpha = U(L) / U(0)$$



$$Y_{gg} = j\omega C_{gg}$$

$$Y_{dg} = g_m - j\omega(C_m - C_{gd})$$

等価回路



$$\begin{aligned} \ast I_m &= g_m + j\omega C_m \\ I_{mb} &= g_{mb} + j\omega C_{mb} \end{aligned}$$

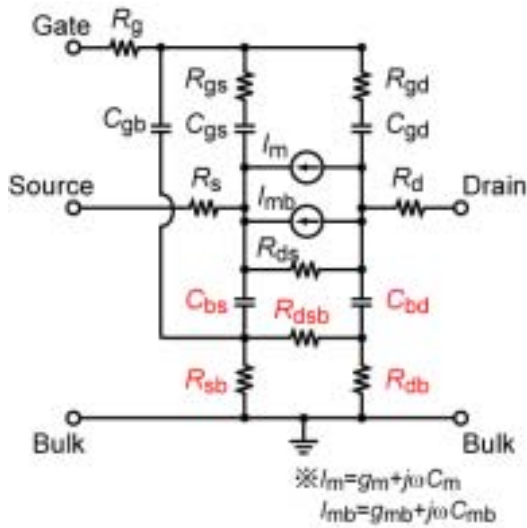
R_b : 基板ネットワーク

$$R_{gs} = \frac{2}{15} \frac{1}{\omega_0 C_{gs}}$$

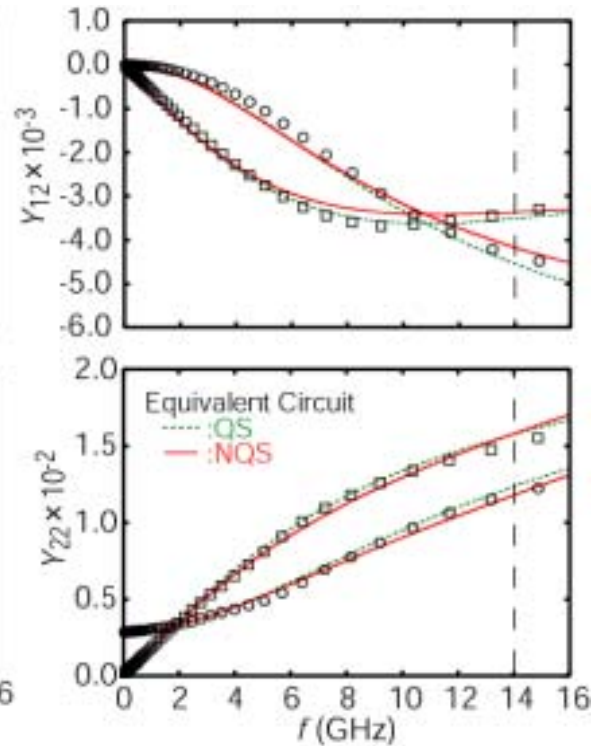
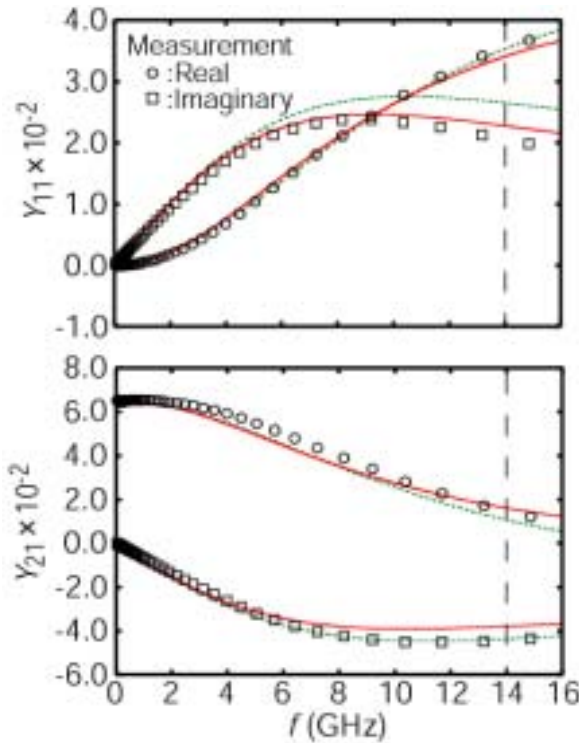
$$R_{gd} = \frac{1}{10} \frac{1}{\omega_0 C_{gd}}$$

$$(\omega_0 = 2\pi f_t)$$

S. Jinbou et al., Ext. Abs. SSDM, p. 26, 2002.
H. Ueno et al., Proc. SISPAD, p. 71, 2002.

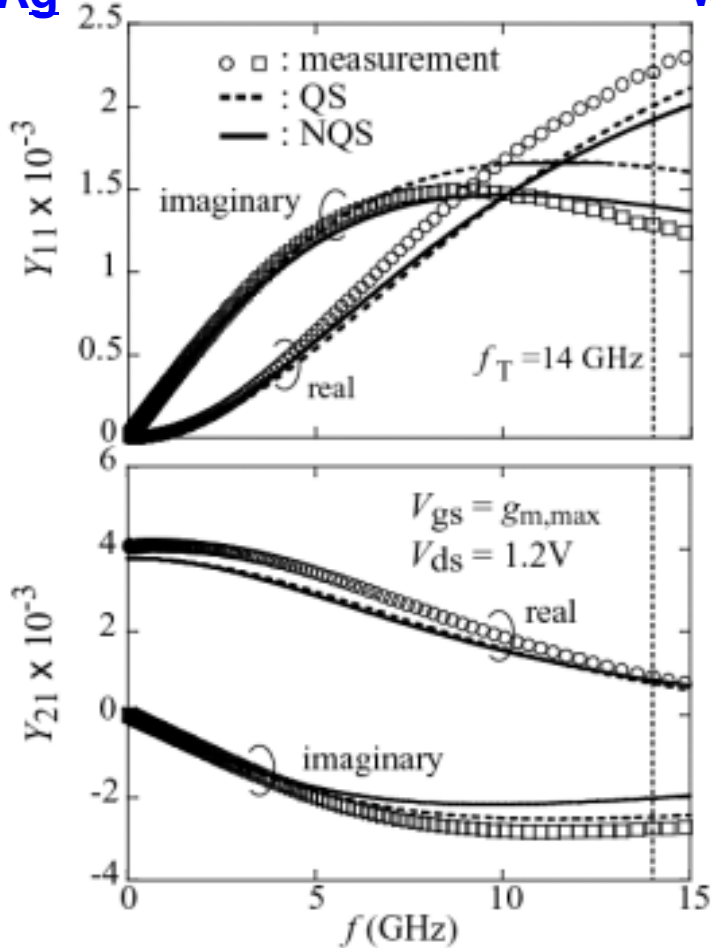


パラメタ抽出が困難
NQSモデルが本質

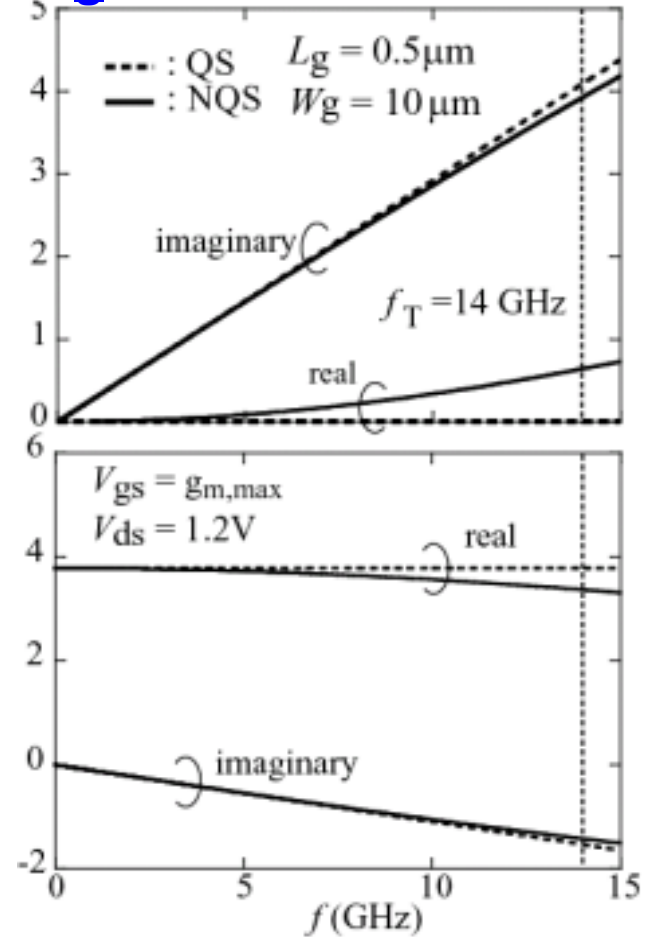


NQS効果の検証

with R_g



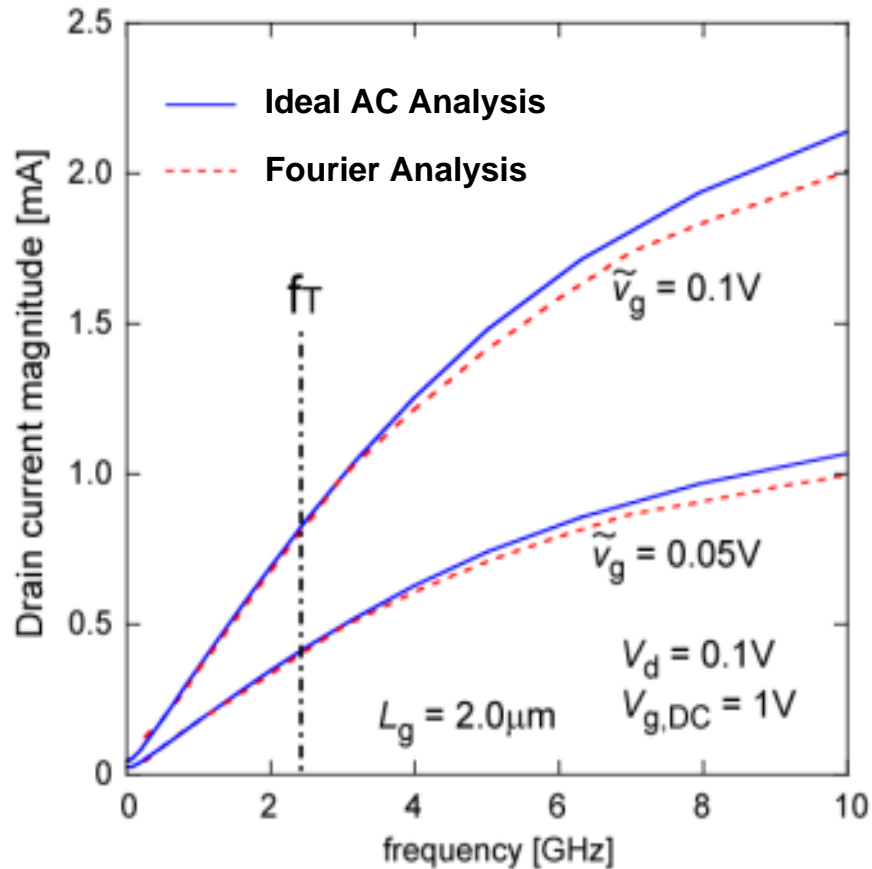
without R_g



S. Jinbou et al., Ext. Abs. SSDM, P. 26, 2002.

Strong External Contribution

大信号モデルの小信号モデルへ拡張



K. Machida et al., SiRF., p. 57, 2006.

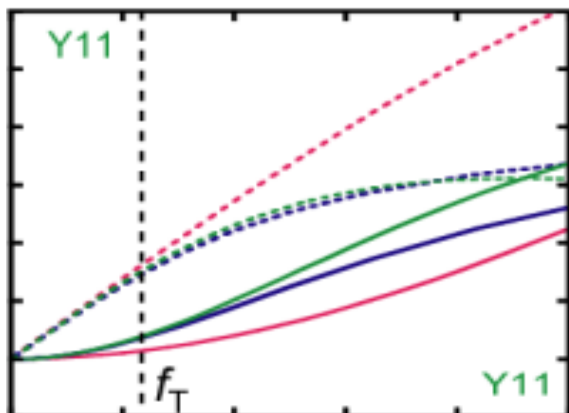
Y-パラメタ特性

long small V_{ds}

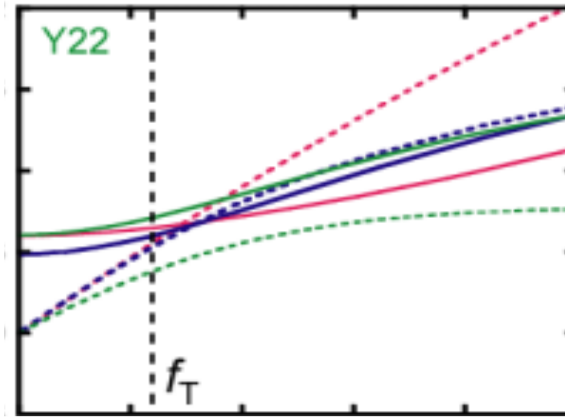
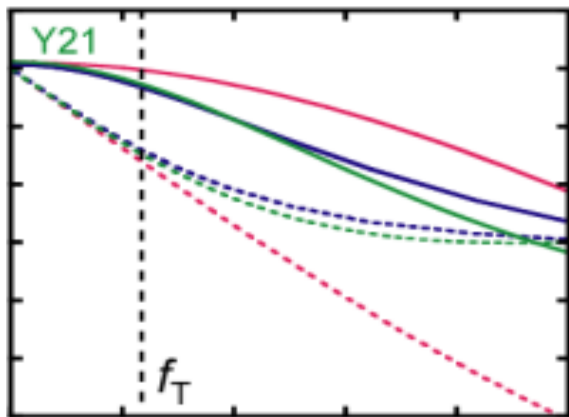
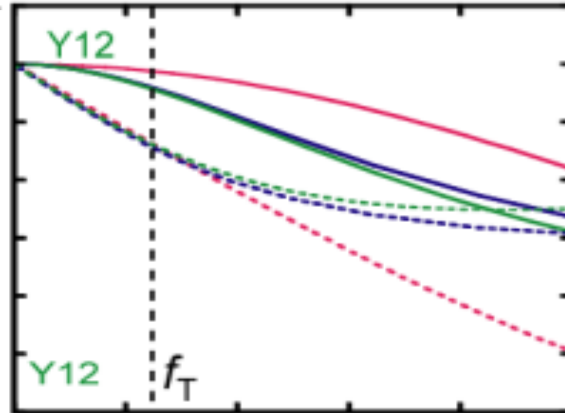
— Measurement Real
 - - - Measurement Imaginary

— HiSIM-QS Real
 - - - HiSIM-QS Imaginary

— HiSIM-NQS Real
 - - - HiSIM-NQS Imaginary



0.005

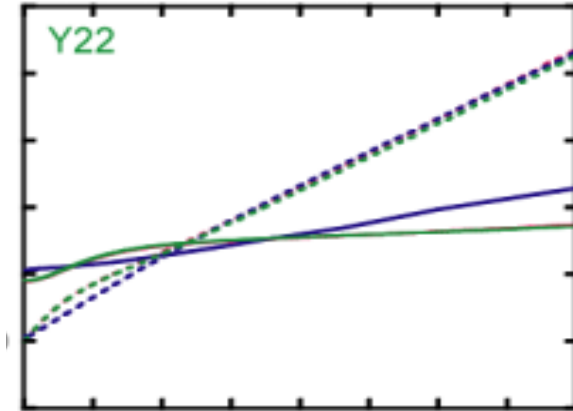
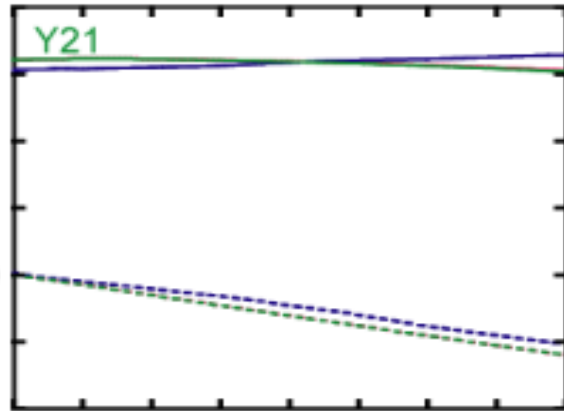
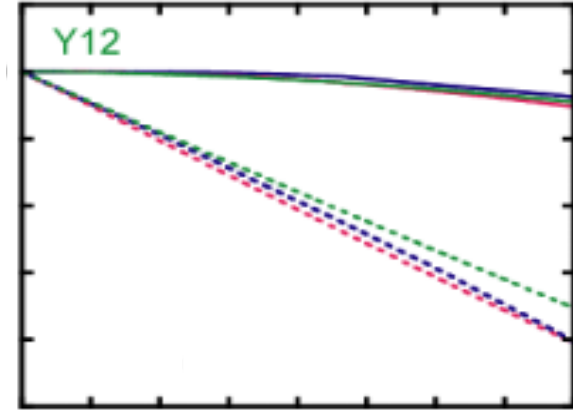
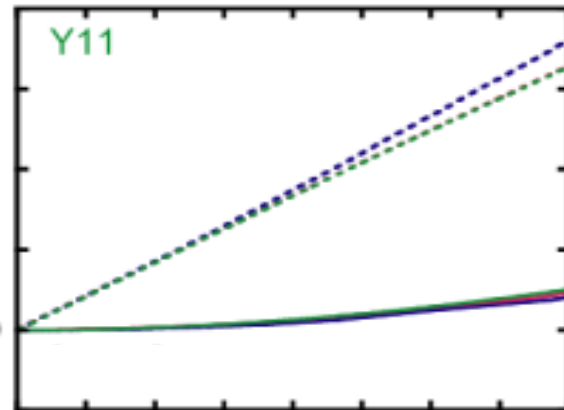


freq (GHz)

freq (GHz)

short large V_{ds}

- Measurement Real
- Measurement Imaginary
- HiSIM-QS Real
- HiSIM-QS Imaginary
- HiSIM-NQS Real
- HiSIM-NQS Imaginary

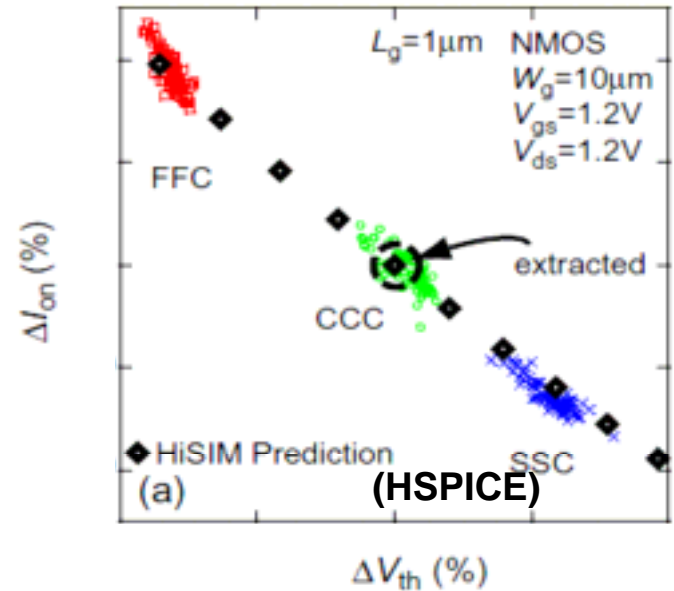


freq (GHz)

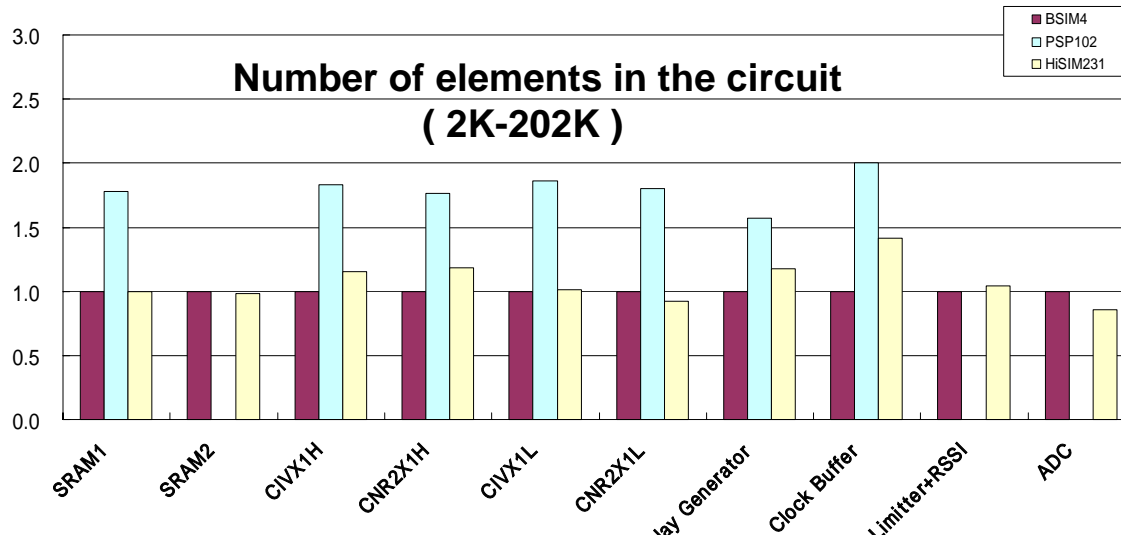
freq (GHz)

今後の課題

- ✓ ばらつきモデル
- ✓ Layout依存性の考慮
- ✓ 計算時間の高速化



CPU time Device: 90nm NMOS, PMOS



STARC, March'07

表面ポテンシャルモデルの特徴

$$I = qn\mu E$$

すべての物理量が同じルーツ(ポテンシャル)で計算されている



デバイス物理の基本

RFデバイスの特性評価

- ✓ ノイズ
- ✓ 高調波ひずみ
- ✓ Y-パラ

RFデバイス特性は電流 電圧特性で決まる

回路モデルへの要求

- ✓ デバイス特性がコンパクトに記述されている
- ✓ すべての観測される現象がモデル化されている
- ✓ デバイス特性と回路性能の関係が予測できる
- ✓ 大規模回路がシミュレーションできる
- ✓ すべての市販シミュレータに組み込まれている

動向

- ✓ 先端MOSFETの性能向上
- ✓ これを十分に利用できる信頼性の高い回路モデル
- ✓ 回路モデルがBSIMからPSPあるいはHiSIMに移行